

39/86

الجمهورية الجزائرية الديمقراطية الشعبية  
REPUBLIQUE ALGERIENNE DEMOCRATIQUE ET POPULAIRE

وزارة التعليم والبحث العلمي  
MINISTERE DE L'ENSEIGNEMENT ET DE LA RECHERCHE SCIENTIFIQUE

ECOLE NATIONALE POLYTECHNIQUE

DEPARTEMENT : GENIE MECANIQUE

المدرسة الوطنية المتعددة التقنيات  
المكتبة —  
BIBLIOTHEQUE —  
Ecole Nationale Polytechnique

## PROJET DE FIN D'ETUDES

(En vue de l'obtention du Diplôme d'Ingénieur d'Etat)

### SUJET

***Elaboration d'un programme pour  
le calcul des actions mécaniques  
appliquées par la bielle sur le  
maneton d'un vilebrequin***

Proposé par :

M. BOUKABACHE

Etudié par :

HAMIDI Laid

Dirigé par :

M. BOUKABACHE

PROMOTION : JUIN 1986



الجمهورية الجزائرية الديمقراطية الشعبية  
REPUBLIQUE ALGERIENNE DEMOCRATIQUE ET POPULAIRE

وزارة التعليم والبحث العلمي  
MINISTERE DE L'ENSEIGNEMENT ET DE LA RECHERCHE SCIENTIFIQUE

## ECOLE NATIONALE POLYTECHNIQUE

DEPARTEMENT : GENIE MECANIQUE

المدرسة الوطنية المتعددة التقنيات  
BIBLIOTHEQUE —  
السكنية —  
Ecole Nationale Polytechnique

## PROJET DE FIN D'ETUDES

(En vue de l'obtention du Diplôme d'Ingénieur d'Etat)

### SUJET

***Elaboration d'un programme pour  
le calcul des actions mécaniques  
appliquées par la bielle sur le  
maneton d'un vilebrequin***

Proposé par :

M. BOUKABACHE

Etudié par :

HAMIDI Laid

Dirigé par :

M. BOUKABACHE

PROMOTION : JUIN 1986

# DEDICACES

المدرسة الوطنية المتعددة التقنيات  
BIBLIOTHEQUE — المكتبة  
Ecole Nationale Polytechnique

Je dedie ce modeste travail à :

- mon père
- ma mère
- mes frères
- mes Sœurs
- à toutes la famille
- à tous mes amis

## REMERCIEMENTS

المدرسة الوطنية المتعددة التقنيات  
المكتبة —  
**BIBLIOTHEQUE**  
**Ecole Nationale Polytechnique**

Je tiens à adresser mes vifs remerciements à mon promoteur MR MOHAMED BOUKABACHE d'avoir proposé et dirigé ce travail et l'aide qu'il n'a cessé de m'apporter.

Que tous les professeurs qui ont contribué à ma formation trouvent ici l'expression de ma profonde gratitude.

Que tous ceux qui ont participé du près ou de loin à la réalisation de cette étude, trouvent ici mes sincères remerciements.

Département : Mécanique  
Promoteur : BOUKABACHE - M.  
Elève Ingénieur : HAMIDI Laïd



فرع : المندسة الميكانيكية  
الموجه : محمد بوکعباش  
الطالب الممنى : العيد حميدي

الموضوع : حساب القوى الميكانيكية ضمن المنظومة  
ذراع - عمود موفقي

الملخص :

إعداد برنامج لحساب القوى الميكانيكية ضمن المنظومة  
ذراع عمود موفقي لمحرك من جهة وازدواج التحرير من  
جهة أخرى بالإضافة إلى تحليله وفقا لسلسلة فوري  
مع الأخذ بعين الاعتبار ضغط الغازات وعطال  
القطع المتحركة .

S U J E T : CALCUL DES ACTIONS MECANIQUES DANS L'EMBAILLAGE D'UN MOTEUR.

R E S U M E : Elaboration d'un programme permettant d'une part le calcul des actions mécaniques dans l'embeillage d'un moteur et d'autre part le calcul du couple moteur ainsi que sa décomposition en série de Fourier en tenant compte de la pression des gaz au cours du cycle thermodynamique et les inerties des pièces en mouvement.

S U B J E C T : CALCULATION OF THE MECHANICAL ACTIONS IN THE CRANK - SYSTEM OF AN ENGINE.

S U B J E C T : A computer program permitting to determine the mechanical actions of an engine has been prepared the engine thorque can also be found and developed into a fourier series.  
The gaz pressure function during the termodynamic cycle and the mobile elements inertias must be know as input data for computing..

# SOMMAIRE

المدرسة الوطنية المتعددة التقنيات  
BIBLIOTHEQUE — المكتبة  
Ecole Nationale Polytechnique

## 1. INTRODUCTION

## 2. ETUDE CINEMATIQUE DU MOTEUR

2.1 Etude cinématique du système bielle-manielle

2.1.1 Mise en place des repères et définition des points d'articulations

2.1.2 Formules de passage entre les différentes repères

2.1.2.1 Passage du repère  $(O, \vec{x}_0, \vec{y}_0, \vec{z}_0)$  au repère  $(O, \vec{x}, \vec{y}, \vec{z})$

2.1.2.2 Passage du repère  $(O, \vec{x}_0, \vec{y}_0, \vec{z}_0)$  au repère  $(B, \vec{x}_1, \vec{y}_1, \vec{z}_1)$

2.1.3 Relations cinématiques

2.1.3.1 Définition de l'angle  $\varphi$

2.1.3.2 Définition de  $\dot{\varphi}$

2.1.3.3 Définition de  $\ddot{\varphi}$

2.1.4 Etude cinématique du centre de gravité de la bielle

2.1.5 Cinématique du piston

## 3. ETUDE DYNAMIQUE DU SYSTEME BIELLE-MANIUELLE

3.1 Etude dynamique de la bielle

3.1.1 Équations vectorielles fondamentales de la bielle

3.1.1.1 Calcul du moment dynamique

- 3.1.1.2 Calcul des moments
- 3.1.2 Equations scalaires de la bielle
- 3.2 Etude dynamique du piston
  - 3.2.1 Action des gaz sur le piston
  - 3.2.2 Equations vectorielles fondamentales du piston
    - 3.2.2.1 Calcul du moment dynamique
    - 3.2.2.2 Calcul des moments des forces par rapport au point B
  - 3.2.3 Equations scalaires du piston
- 3.3 Expression des efforts dans les repères mobiles

#### 4. CALCUL DU COUPLE MOTEUR

- 4.1 Couple du à la pression des gaz
- 4.2 Couple du aux inerties des pièces en mouvement
- 4.3 Décomposition du couple en série de Fourier

#### 5. ETUDE THERMODYNAMIQUE DU MOTEUR

- 5.1 Cycle quasi-reel
- 5.2 Phases principales du cycle quasi-reel
- 5.3 Expression de la pression durant les phases du cycle
- 5.4 Recapitulatif de la pression en fonction de θ

#### 6. ORGANIGRAMME

CONCLUSION

المدرسة الوطنية المتعددة التقنيات  
BIBLIOTHEQUE —  
المكتبة —  
Ecole Nationale Polytechnique

## TABLE DES FIGURES

- Fig 1.1 Mécanisme bielle-manivelle
- Fig 2.2 Présentation de l'ensemble bielle-manivelle
- Fig 2.3 Passage du repère  $(O, \vec{x}_0, \vec{y}_0, \vec{z}_0)$  au repère  $(O, \vec{x}, \vec{y}, \vec{z})$
- Fig 2.4 Passage du repère O au repère 2
- Fig 3.1 Analyse des actions mécaniques appliquées à la bielle
- Fig 3.2 Bielle du moteur F4L912
- Fig 3.3 Analyse des actions mécaniques appliquées au piston
- Fig 4.1 Système bielle-manivelle
- Fig 5.1 Cycle quasi-reel

# NOTATIONS UTILISEES

المدرسة الوطنية المتعددة التقنيات  
المكتبة —  
BIBLIOTHEQUE —  
Ecole Nationale Polytechnique

$\theta$	angle de rotation du vilebrequin
$\varphi$	angle d'oscillation de La bielle
$\dot{\varphi}$	vitesse angulaire de La bielle
$\ddot{\varphi}$	acceleration angulaire de La bielle
$\omega$	vitesse angulaire du moteur
$R$	avon de la manivelle
$L$	entraxe de La bielle
$L_B$	la distance entre le pied de La bielle et le centre de gravité de La bielle
$\Omega$	rotation instantanée
$\gamma$	acceleration linéaire
$M$	moment
$m_b$	masse de La bielle
$m_p$	masse du piston et ses accessoires
$S$	moment dynamique
$I_{GZ}$	moment d'inertie de La bielle par rapport à un axe passant par G
$G$	centre de gravité
$S$	La section du piston
$P(\theta)$	La pression en fonction de $\theta$
$P_0$	La pression du carter du moteur

## PREAMBULE

Cette étude rentre dans le travail global qui consiste à préparer l'outil nécessaire pour analyser, optimiser et contrôler le comportement vibratoire des moteurs à combustions internes et leurs récepteurs.

## 1. INTRODUCTION

l'évolution périodique du couple moteur provoque l'apparition des vibrations de torsions considérables lors de l'égalité d'une fréquence propre du système avec la fréquence d'une harmonique du couple moteur.

La connaissance de ces vibrations et les moyens de leur réduction impose une connaissance des paramètres dynamiques du moteur.

l'étude dynamique du moteur à combustion interne impose la nécessité d'examiner avec soin les aspects exacts des pièces en mouvement et les efforts transmis aux différents éléments constitutifs du moteur. la transmission du mouvement alternatif du piston en mouvement de rotation sur le vilebrequin se fait par le système bielle-manivelle.

le vilebrequin est soumis à des efforts mécaniques alternés d'autant plus sévères qu'ils varient notablement d'un point à un autre, ces efforts se transmettent aux attaches du moteur et entraînent

par consequent des vibrations nuisibles au fonctionnement et à la tenue mécanique de celui-ci.

Ces efforts sont transmis du piston au vilebrequin par l'intermédiaire d'une bielle.

Le piston est soumis aux efforts engendrés par la pression des gaz au cours de la combustion et les inerties des pièces en mouvement, la bielle recevant les efforts du piston travaille à la compression pendant les temps de compression, échappement et détente et à la traction au cours de l'admission.

Le piston, la bielle et le vilebrequin sont des pièces mécaniquement liées et l'ensemble composé par ces pièces est appelé ambiellage du moteur.

## 2. ETUDE CINEMATIQUE DU MOTEUR

Qu'il s'agisse de calculer les variations du volume résultant du déplacement des pistons, les accélérations et les efforts dynamiques correspondants ou les organes de distributions en générale ; il importe évidemment de pouvoir déterminer tout d'abord les déplacements des principales pièces mobiles du moteur.

### 2.1 ETUDE CINEMATIQUE DU SYSTEME BIELLE-MANIVELLE

La cinématique du système bielle-manivelle est nécessaire à l'étude dynamique du moteur. Nous allons déterminer le déplacement, la vitesse et l'accélération du centre de gravité de la bielle et du piston.

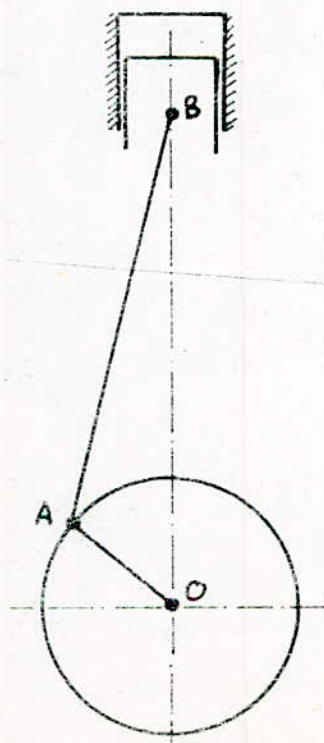


Fig 2.1. MECHANISME BIELLE-MANIVELLE

## 2.1.1 MISE EN PLACE DES REPERES ET DEFINITIONS DES POINTS D'ARTICULATIONS

L'étude cinématique du système bielle-manivelle nécessite la mise en place de trois repères (Fig. 2.2).

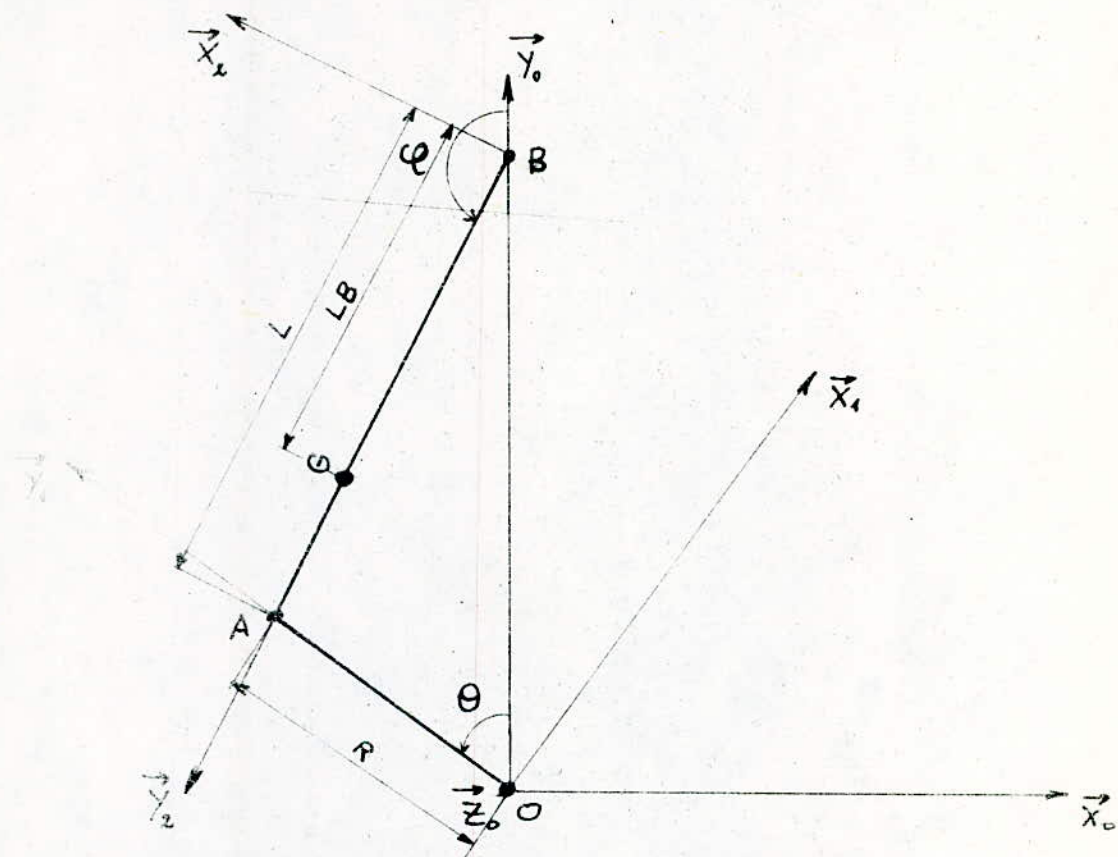


Fig 2.2 . Présentation de L'ensemble bielle - manivelle

Dans cette étude on supposera que la vitesse de rotation du moteur est constante  $\omega = \frac{d\theta}{dt} = \text{cte}$

$(O, Z_0, X_0, Y_0)$  est le repère fixe

$O$  : le centre du vilebrequin

$Y_0$  : axe du cylindre

$Z_0$  : axe du vilebrequin, le volant étant placé sur les  $Z_0$  positifs

$(O, \vec{x}_1, \vec{y}_1, \vec{z}_1)$  : est le repère mobile lié au vilebrequin

$\vec{x}_1$  : porte la manivelle

$\theta$  : est l'angle de rotation du vilebrequin  $\theta = (\vec{y}_0, \vec{OA})$  (Fig 2.2)

A : le centre de la tête de la bielle

R : le rayon de la manivelle

On définit le vecteur rotation instantané de la manivelle par rapport au repère fixe par :

$\omega_{\text{(manivelle/0)}}$  noté simplement  $\omega_{\text{(m/0)}} = \dot{\theta} \cdot \vec{z}_0$  ou

$\dot{\theta} = \frac{d\theta}{dt} = \omega$  : vitesse angulaire du moteur

$$\omega_{\text{(m/0)}} = \omega \cdot \vec{z}_0$$

$(B, \vec{x}_2, \vec{y}_2, \vec{z}_2)$  : repère lié à la bielle (Fig 2.2)

$\vec{y}_2$  : porte la bielle

B : le centre du pied de la bielle

G : le centre de gravité de la bielle

L : l'entraxe de la bielle

LB : position du centre de gravité de la bielle par rapport à l'axe du pied de la bielle

$\varphi$  : l'angle de rotation de la bielle  $\varphi = (\vec{y}_0, \vec{BA})$

de même que pour la manivelle on définit le vecteur rotation instantané de la bielle par rapport au repère fixe par :

$\overrightarrow{\omega}$  (bielle / o) noté  $\overrightarrow{\omega}(b/o) = \dot{\varphi} \cdot \vec{z}_o$  où :

$\dot{\varphi} = \frac{d\varphi}{dt}$  : vitesse angulaire de la bielle

$$\overrightarrow{\omega}(b/o) = \dot{\varphi} \cdot \vec{z}_o. \quad (1)$$

## 2.1.2 FORMULES DE PASSAGE ENTRE LES DIFFERENTS REPERES

### 2.1.2.1 PASSAGE DU REPERE $(O, \vec{x}_0, \vec{y}_0, \vec{z}_0)$ AU REPERE $(O, \vec{x}_1, \vec{y}_1, \vec{z}_1)$

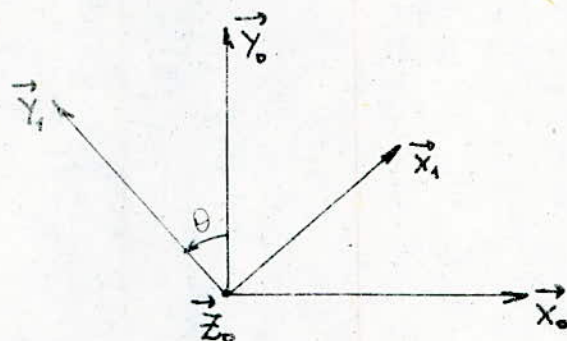


Fig 2.3. PASSAGE DU REPERE  $(O, \vec{x}_0, \vec{y}_0, \vec{z}_0)$  AU REPERE  $(O, \vec{x}_1, \vec{y}_1, \vec{z}_1)$

Exprimons les coordonnées des vecteur  $\vec{x}_1, \vec{y}_1, \vec{z}_1$  dans le repère  $(O, \vec{x}_0, \vec{y}_0, \vec{z}_0)$

par projection de  $\vec{x}_0, \vec{y}_0, \vec{z}_0$  sur  $\vec{x}_1, \vec{y}_1$  et  $\vec{z}_1$  on obtient les relations suivantes:

$$\begin{cases} \vec{x}_1 = \vec{x}_0 \cdot \cos\theta + \vec{y}_0 \cdot \sin\theta \\ \vec{y}_1 = -\vec{x}_0 \cdot \sin\theta + \vec{y}_0 \cdot \cos\theta \\ \vec{z}_1 = \vec{z}_0 \end{cases} \quad (2)$$

### 2.1.2.2 PASSAGE DU REPERE $(O, \vec{x}_0, \vec{y}_0, \vec{z}_0)$ AU REPERE $(B, \vec{x}_1, \vec{y}_1, \vec{z}_1)$

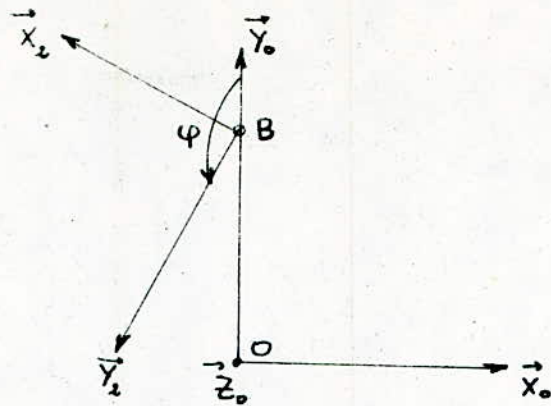


Fig 2.4. PASSAGE DU REPERE O AU REPERE 2

La projection des vecteurs  $\vec{x}_0, \vec{y}_0, \vec{z}_0$  sur les axes  $\vec{x}_2, \vec{y}_2, \vec{z}_2$  donne (fig 2.4)

$$\vec{x}_2 = -\vec{x}_0 \cdot \cos(\pi - \varphi) + \vec{y}_0 \cdot \sin(\pi - \varphi)$$

$$= \vec{x}_0 \cdot \cos \varphi + \vec{y}_0 \cdot \sin \varphi$$

$$\vec{y}_2 = -\vec{x}_0 \cdot \sin(\pi - \varphi) - \vec{y}_0 \cdot \cos(\pi - \varphi)$$

$$= -\vec{x}_0 \cdot \sin \varphi + \vec{y}_0 \cdot \cos \varphi$$

$$\vec{z}_2 = \vec{z}_0$$

$$\begin{cases} \vec{x}_2 = \vec{x}_0 \cdot \cos \varphi + \vec{y}_0 \cdot \sin \varphi \\ \vec{y}_2 = -\vec{x}_0 \cdot \sin \varphi + \vec{y}_0 \cdot \cos \varphi \\ \vec{z}_2 = \vec{z}_0 \end{cases} \quad (3)$$

les relations (2) et (3) nous permettent par la suite de connaître les efforts dans les différentes repères connaissant leurs composantes dans le repère fixe.

## 2.1.3 RELATIONS CINÉMATIQUES

### 2.1.3.1 définitions de l'angle $\varphi$

Dans cette définition nous allons tirer une relation entre l'angle  $\psi$  et l'angle  $\theta$

$$\vec{OA} = -R \sin\theta \cdot \vec{x}_0 + R \cos\theta \cdot \vec{y}_0 \quad (\text{Fig 2.2})$$

la projection de  $\vec{OA}$  sur  $\vec{x}_0$  donne  $-R \sin\theta$

$$\vec{BA} = -L \sin\psi \cdot \vec{x}_0 + L \cos(\pi - \psi) \cdot \vec{y}_0$$

sa projection sur  $\vec{x}_0$  est  $-L \sin\psi$

or (voir Fig 2.2) les composantes de  $\vec{OA}$  et  $\vec{BA}$  sur  $\vec{x}_0$  sont égales donc

$$R \sin\theta = -L \sin\psi \quad (4)$$

$$\sin\psi = \frac{R}{L} \sin\theta \quad (5)$$

$$\begin{aligned} \cos\psi &= \pm (1 - \sin^2\psi)^{\frac{1}{2}} \\ &= \pm \left(1 - \frac{R^2}{L^2} \sin^2\theta\right)^{\frac{1}{2}} \end{aligned}$$

$\psi$  étant positif et varie légèrement autour de  $\pi$  donc son cosinus est négatif

$$\cos\psi = -\left(1 - \frac{R^2}{L^2} \sin^2\theta\right)^{\frac{1}{2}}$$

### 2.1.3.2 DEFINITION DE $\dot{\psi}$

$\dot{\psi}$  est la vitesse de rotation de la bielle, elle est égale à la dérivé de  $\psi$  par rapport au temps

$$\dot{\psi} = \frac{d\psi}{dt}$$

partons de la relation (5)

$$\sin \varphi = \frac{R}{L} \sin \theta$$

par dérivation des 2 termes par rapport au temps on obtient

$$\frac{d}{dt}(\sin \varphi) = \frac{d}{dt}\left(\frac{R}{L} \sin \theta\right)$$

$$\cos \varphi \cdot \frac{d\varphi}{dt} = \frac{R}{L} \cos \theta \cdot \frac{d\theta}{dt}$$

$$\dot{\varphi} \cdot \cos \varphi = \frac{R}{L} \cdot \omega \cdot \cos \theta \quad (6)$$

soit

$$\dot{\varphi} = \frac{R}{L} \cdot \frac{\cos \theta}{\cos \varphi} \cdot \omega \quad (7)$$

### 2.1.3.3 DEFINITION DE $\ddot{\varphi}$

On note par  $\ddot{\varphi}$  l'accélération angulaire de la bielle

$$\ddot{\varphi} = \frac{d}{dt} \dot{\varphi}$$

en dérivant les deux membres de la relation (7) par rapport au temps on obtient

$$\frac{d}{dt}(\dot{\varphi} \cdot \cos \varphi) = \frac{d}{dt}\left(\frac{R}{L} \omega \cos \theta\right)$$

$$\ddot{\varphi} \cos \varphi - \dot{\varphi}^2 \sin \varphi = - \frac{R}{L} \omega^2 \sin \theta$$

$$\ddot{\varphi} = \frac{\dot{\varphi}^2 \sin \varphi - \frac{R}{L} \omega^2 \sin \theta}{\cos \varphi}$$

et d'après (2) on obtient

$$\ddot{\varphi} = (\dot{\varphi}^2 - \omega^2) \cdot \operatorname{tg} \varphi \quad (8)$$

## 2.1.4 ETUDE CINÉMATIQUE DU CENTRE DE GRAVITE DE LA BIELLE

Soit  $X_G, Y_G, Z_G$  les composantes du centre de gravité de la bielle dans le repère fixe.

$$\vec{OG} = X_G \vec{x}_o + Y_G \vec{y}_o + Z_G \vec{z}_o = \begin{pmatrix} X_G \\ Y_G \\ Z_G \end{pmatrix} \begin{matrix} \vec{x}_o \\ \vec{y}_o \\ \vec{z}_o \end{matrix}$$

Les expressions de  $X_G, Y_G, Z_G$  (voir Fig 2.2) sont :

$$X_G = -L_B \sin(\pi - \varphi) = -L_B \sin \varphi$$

$$\begin{aligned} Y_G &= R \cos \theta + A_G \cos(\pi - \varphi) = R \cos \theta + (L - L_B) \cos(\pi - \varphi) \\ &= R \cos \theta - (L - L_B) \cos \varphi \end{aligned}$$

Le mouvement de la bielle étant plan donc  $Z_G = 0$

$$\vec{OG} = \begin{pmatrix} -L_B \sin \varphi \\ R \cos \theta - (L - L_B) \cos \varphi \\ 0 \end{pmatrix} \begin{matrix} \vec{x}_o \\ \vec{y}_o \\ \vec{z}_o \end{matrix} = \begin{pmatrix} -\frac{R}{L} L_B \sin \theta \\ R \cos \theta - (L - L_B) \cos \varphi \\ 0 \end{pmatrix} \begin{matrix} \vec{x}_o \\ \vec{y}_o \\ \vec{z}_o \end{matrix} \quad (9)$$

### EXPRESSION DE LA VITESSE DU POINT G

$$\begin{aligned} \text{par définition } \vec{v}_G &= \frac{d}{dt} (\vec{OG}) \\ &= \dot{X}_G \vec{x}_o + \dot{Y}_G \vec{y}_o + \dot{Z}_G \vec{z}_o \\ &= \begin{pmatrix} \dot{X}_G \\ \dot{Y}_G \\ \dot{Z}_G \end{pmatrix} \begin{matrix} \vec{x}_o \\ \vec{y}_o \\ \vec{z}_o \end{matrix} \end{aligned}$$

$$\text{avec } \dot{x}_G = \frac{d}{dt} x_G = -\frac{R}{L} L_B \cdot \omega \cdot \cos \theta$$

$$\dot{y}_G = \frac{d}{dt} y_G = -R \cdot \omega \cdot \sin \theta + (L - L_B) \cdot \dot{\varphi} \cdot \sin \varphi$$

$$\dot{z}_G = \frac{d}{dt} z = 0$$

$$\vec{v}_G = \begin{pmatrix} -\frac{R}{L} L_B \cdot \omega \cdot \cos \theta \\ -R \cdot \omega \cdot \sin \theta + (L - L_B) \cdot \dot{\varphi} \cdot \sin \varphi \\ 0 \end{pmatrix} \begin{matrix} \vec{x}_o \\ \vec{y}_o \\ \vec{z}_o \end{matrix}$$

d'après (5) l'expression de  $\vec{v}_G$  devient

$$\vec{v}_G = \begin{pmatrix} -\frac{R}{L} L_B \cdot \omega \cdot \cos \theta \\ R \cdot \sin \theta \cdot (\dot{\varphi} - \omega - \frac{L_B}{L} \dot{\varphi}) \\ 0 \end{pmatrix} \begin{matrix} \vec{x}_o \\ \vec{y}_o \\ \vec{z}_o \end{matrix} \quad (10)$$

### EXPRESSION DE L'ACCELERATION DU POINT G

par définition l'accélération du centre de gravité notée  $\vec{r}_G$  est donné par

$$\begin{aligned} \vec{r}_G &= \frac{d}{dt} (\vec{v}_G) \\ &= \ddot{x}_G \cdot \vec{x}_o + \ddot{y}_G \cdot \vec{y}_o + \ddot{z}_G \cdot \vec{z}_o \end{aligned}$$

$$\ddot{x}_G = \frac{d}{dt} \dot{x}_G = \frac{R}{L} L_B \cdot \omega^2 \cdot \sin \theta$$

$$\ddot{y}_G = \frac{d}{dt} \dot{y}_G = R \cdot \omega \cdot \cos \theta \cdot (\dot{\varphi} - \omega - \frac{L_B}{L} \dot{\varphi}) + R \cdot \sin \theta \cdot (\ddot{\varphi} - \frac{L_B}{L} \ddot{\varphi})$$

$$= R.w \left( \dot{\varphi} - \omega - \frac{L_B}{L} \dot{\varphi} \right) \cos\theta + R.\ddot{\varphi} \left( 1 - \frac{L_B}{L} \right) \sin\theta$$

$$\ddot{z}_G = 0$$

$$\vec{r}_G = \begin{pmatrix} \frac{R}{L} L_B w^2 \sin\theta \\ R.w \left[ \dot{\varphi} \left( 1 - \frac{L_B}{L} \right) - \omega \right] \cos\theta + R.\ddot{\varphi} \left( 1 - \frac{L_B}{L} \right) \sin\theta \\ 0 \end{pmatrix} \begin{matrix} \rightarrow \\ \rightarrow \\ \rightarrow \end{matrix} \begin{matrix} x_0 \\ y_0 \\ z_0 \end{matrix} \quad (11)$$

## 2.1.5 CINÉMATIQUE DU PISTON

### ACCELERATION DU POINT B

l'accélération du piston (point B) est notée  $\vec{r}_B$

pour calculer les coordonnées de  $\vec{r}_B$  il suffit de mettre  $L_B = 0$  dans l'expression de  $\vec{r}_G$

les composantes de  $\vec{r}_B$  dans le repère fixe sont notées  $\ddot{x}_B$ ,  $\ddot{y}_B$  et  $\ddot{z}_B$

remplaçons  $L_B$  par 0 dans (11) on obtient

$$\ddot{x}_B = 0$$

$$\ddot{y}_B = R.w(\dot{\varphi} - \omega) \cos\theta + R.\ddot{\varphi} \sin\theta$$

$$\ddot{z}_B = 0$$

$$\vec{r}_B = \begin{pmatrix} 0 \\ R.w(\dot{\varphi} - \omega) \cos\theta + R.\ddot{\varphi} \sin\theta \\ 0 \end{pmatrix} \begin{matrix} \rightarrow \\ \rightarrow \\ \rightarrow \end{matrix} \begin{matrix} x_0 \\ y_0 \\ z_0 \end{matrix} \quad (12)$$

### 3. ETUDE DYNAMIQUE DU SYSTEME BIEILLE-MANIVELLE

Cette étude a pour but de calculer les valeurs des actions mutuelles entre les différents organes du moteur. dans cette étude nous négligerons l'effet du frottement ainsi que le poids des pièces. Nous intéressons : l'action de la chenille sur le piston, l'action du piston sur la bielle et l'action de la bielle sur le maneton, ainsi que le couple moteur.

#### 3.1 ETUDE DYNAMIQUE DE LA BIELLE

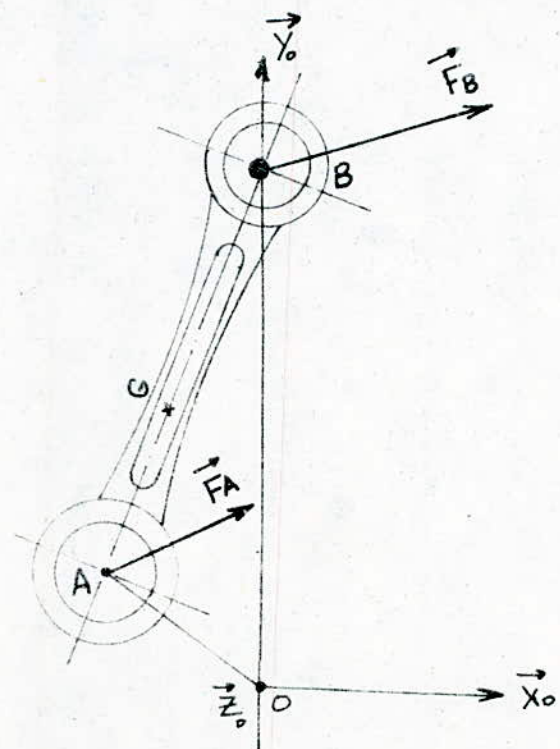


Fig 3.1. Analyse des actions mécaniques appliquées à la bielle

En isolant la bielle du système, 2 actions mécaniques extérieures appliquées à la bielle apparaissent :

l'action du maneton sur la bielle au point A :  $\vec{F}_A$

l'action du piston sur la bielle au point B :  $\vec{F}_B$

\* le torsion des actions mécaniques au point A se réduit à une force  $\vec{F}_A$  et un moment  $\vec{m}_A$

On note torsion au point A par  $T_A$ .

$$\mathcal{T}_A = \left\{ \begin{array}{l} \vec{F}_A \\ \vec{m}_A \end{array} \right\}$$

$\vec{F}_A$  passe par l'axe au point A donc son moment par rapport à A est nul  $\vec{m}_{F_A/A} = \vec{0}$ .

Soit  $x_A$ ,  $y_A$  et  $z_A$  les composantes de la force  $\vec{F}_A$  dans le repère fixe

$$\vec{F}_A = x_A \vec{x}_o + y_A \vec{y}_o + z_A \vec{z}_o = \begin{pmatrix} x_A \\ y_A \\ z_A \end{pmatrix} \vec{x}_o$$

\* torsion des actions mécaniques au point B

$$\mathcal{T}_B = \left\{ \begin{array}{l} \vec{F}_B \\ \vec{m}_B \end{array} \right\}$$

$\vec{m}_B = \vec{0}$  car  $\vec{F}_B$  passe par le point B

$$\vec{F}_B = x_B \vec{x}_o + y_B \vec{y}_o + z_B \vec{z}_o \text{ ou}$$

$x_B$ ,  $y_B$  et  $z_B$  sont les composantes de l'effort  $\vec{F}_B$  dans le repère fixe

### 3.1.1 EQUATIONS VECTORIELLES FONDAMENTALES DE LA BIELLE

Les équations fondamentales de la bielle sont :

- La somme vectorielle de toutes les forces extérieures appliquées à la bielle est égale au produit de la masse de celle-ci par l'accélération de son centre de gravité.
- La somme des moments des efforts extérieurs appliqués à la bielle est égale au moment dynamique de celle-ci par rapport à son centre de gravité.

$$mb \cdot \vec{F_G} = \sum \vec{F_{ext}} \quad (13)$$

$$S(b/G) = \sum m \vec{F_{ext}/G} \quad (14)$$

mb = la masse de la bielle

S(b/G) = le moment dynamique de la bielle par rapport à G

#### 3.1.1.1 CALCUL DU MOMENT DYNAMIQUE

le moment dynamique de la bielle par rapport à son centre de gravité représente la résistance à la rotation de la bielle par rapport à son centre de gravité.

$$\text{par définition } S(b/G) = \frac{d}{dt} (\vec{J}_{b(b/G)}) \quad \text{ou}$$

$\vec{J}_{b(b/G)}$  représente le moment cinétique de la bielle par rapport à son centre de gravité

## CALCUL DU MOMENT CINETIQUE

par définition le moment cinétique de la bielle par rapport à son centre de gravité est égal au produit de son vecteur rotation instantané par rapport au centre du vilebrequin O et son tenseur d'inertie dans le repère lié à la bielle et passant par G ( $G, \vec{x}_2, \vec{y}_2, \vec{z}_2$ )

$$\overrightarrow{\mathcal{J}(b/G)} = I(b/G) \cdot \overrightarrow{\omega(b/G)} \\ (G, \vec{x}_2, \vec{y}_2, \vec{z}_2)$$

$I(b/G)$ : le tenseur d'inertie

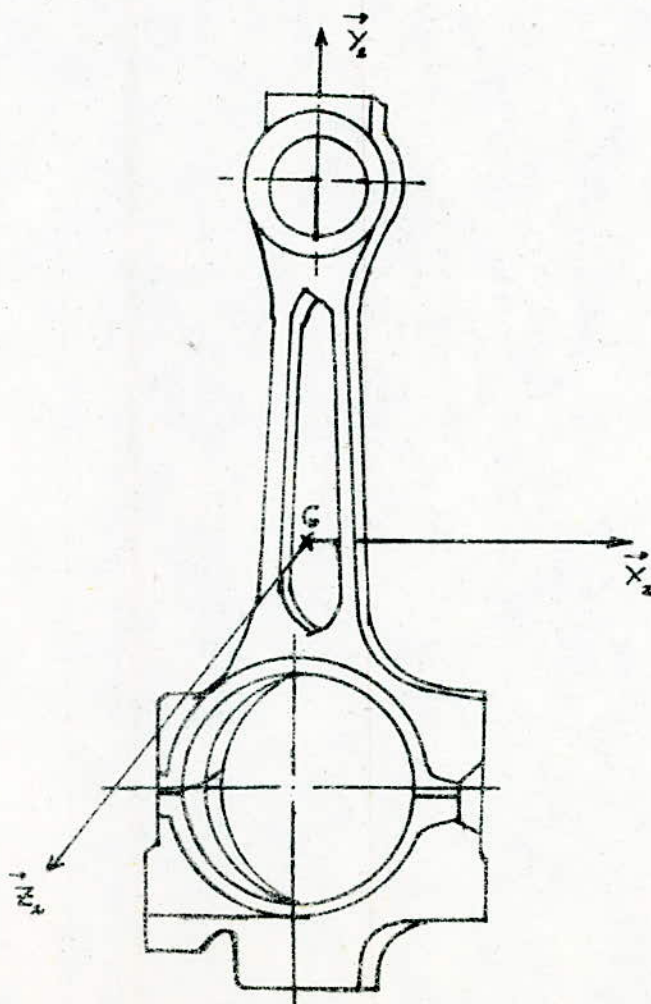


Fig 3.2 bielle du moteur F4L912

$$\vec{\Omega}(b/c) = \begin{pmatrix} 0 \\ 0 \\ \dot{\varphi} \end{pmatrix} \begin{matrix} \vec{x}_b \\ \vec{y}_b \\ \vec{z}_b \end{matrix}$$

$$I(b/c) = \begin{pmatrix} A & -F & -E \\ -F & B & -D \\ -E & -D & C \end{pmatrix} \text{ est le tenseur d'inertie}$$

avec

$A, B, C, E, F$  et  $D$  respectivement les moments d'inertie de la bielle par rapport aux axes  $Gx_1, Gy_1, Gz_1$  et aux plans  $Zx, xy$  et  $yz$

On les note par :

$$A = I_{Gx}$$

$$B = I_{Gy}$$

$$C = I_{Gz}$$

$$D = I_{Gxy}$$

$$E = I_{Gzx}$$

$$F = I_{Gxy}$$

Si la bielle possède 2 plans de symétrie le cas de notre étude (voir Fig 3.2) tous les produits d'inerties sont nuls, le tenseur d'inertie se réduit à :

$$I(G/c) = \begin{pmatrix} A & 0 & 0 \\ 0 & B & 0 \\ 0 & 0 & C \end{pmatrix} = \begin{pmatrix} I_{Gx} & 0 & 0 \\ 0 & I_{Gy} & 0 \\ 0 & 0 & I_{Gz} \end{pmatrix}$$

dans ce cas  $I(G/c)$  s'appelle le tenseur d'inertie principal

le moment cinétique est donc égale à

$$\begin{aligned}\vec{\sigma}(b/G) &= \begin{pmatrix} I_{Gx} & 0 & 0 \\ 0 & I_{Gy} & 0 \\ 0 & 0 & I_{Gz} \end{pmatrix} \begin{pmatrix} 0 \\ 0 \\ \dot{\varphi} \end{pmatrix} \begin{matrix} \vec{x}_2 \\ \vec{y}_2 \\ \vec{z}_2 \end{matrix} \\ &= \begin{pmatrix} 0 \\ 0 \\ I_{Gz} \cdot \dot{\varphi} \end{pmatrix} \begin{matrix} \vec{x}_2 \\ \vec{y}_2 \\ \vec{z}_2 \end{matrix} = I_{Gz} \cdot \dot{\varphi} \cdot \vec{z}_0 \quad (\vec{z}_2 = \vec{z}_0)\end{aligned}$$

d'où le moment dynamique de la bielle par rapport à G est

$$\vec{s}(b/G) = \frac{d}{dt} (I_{Gz} \cdot \dot{\varphi}) \vec{z}_0 = I_{Gz} \cdot \ddot{\varphi} \cdot \vec{z}_0$$

$$\vec{s}(b/G) = \begin{pmatrix} 0 \\ 0 \\ \ddot{\varphi} \cdot I_{Gz} \end{pmatrix} \begin{matrix} \vec{x}_0 \\ \vec{y}_0 \\ \vec{z}_0 \end{matrix} \quad (15)$$

### 3.1.1.2 CALCUL DES MOMENTS DES FORCES PAR RAPPORT A A

puisque le moment dynamique de la bielle est calculé par rapport au point G, il faut donc ramener tous les moments des forces extérieures appliquées à la bielle à G

#### a - CALCUL DU MOMENT DE LA FORCE $\vec{F}_A$

$$m \vec{m}_{(F_A/G)} = m \vec{m}_{(F_A/A)} + \vec{G}_A \wedge \vec{F}_A$$

la force  $\vec{F}_A$  passe par A donc son moment par rapport à C point est nul

$$M_{(C)}(\vec{F}_A) = \vec{0}$$

Calculez le produit vectoriel de  $\vec{F}_A$  par  $\vec{G}_A$

$$\vec{F}_A = \begin{pmatrix} X_A \\ Y_A \\ Z_A \end{pmatrix} \quad \begin{matrix} \vec{x}_o \\ \vec{y}_o \\ \vec{z}_o \end{matrix}$$

$$\vec{G}_A = \vec{OA} - \vec{OG}$$

$$\vec{OG} = \begin{pmatrix} -\frac{R}{L} \cdot L_B \cdot \sin\theta \\ R \cdot \cos\theta - (L - L_B) \cdot \cos\varphi \\ 0 \end{pmatrix} \quad \begin{matrix} \vec{x}_o \\ \vec{y}_o \\ \vec{z}_o \end{matrix} = \quad (\text{voir } (g))$$

$$\vec{OA} = -R \cdot \sin\theta \cdot \vec{x}_o + R \cdot \cos\theta \cdot \vec{y}_o \quad (\text{Fig 2.2})$$

$$\begin{pmatrix} -R \sin\theta \\ R \cos\theta \\ 0 \end{pmatrix} \quad \begin{matrix} \vec{x}_o \\ \vec{y}_o \\ \vec{z}_o \end{matrix}$$

$$\vec{GA} = \vec{OA} - \vec{OG} = \begin{pmatrix} -R \sin\theta \cdot (1 - \frac{L_B}{L}) \\ (L - L_B) \cdot \cos\varphi \\ 0 \end{pmatrix} \quad \begin{matrix} \vec{x}_o \\ \vec{y}_o \\ \vec{z}_o \end{matrix} = \begin{pmatrix} -(L - L_B) \sin\varphi \\ (L - L_B) \cos\varphi \\ 0 \end{pmatrix} \quad \begin{matrix} \vec{x}_o \\ \vec{y}_o \\ \vec{z}_o \end{matrix}$$

$$\vec{GA} \wedge \vec{F}_A = \begin{pmatrix} -(L - L_B) \sin\varphi \\ (L - L_B) \cos\varphi \\ 0 \end{pmatrix} \wedge \begin{pmatrix} X_A \\ Y_A \\ Z_A \end{pmatrix} \quad \begin{matrix} \vec{x}_o \\ \vec{y}_o \\ \vec{z}_o \end{matrix} = \begin{pmatrix} 0 \\ 0 \\ -(L - L_B) \sin\varphi Y_A - (L - L_B) \cos\varphi X_A \end{pmatrix}$$

$$\begin{pmatrix} 0 \\ 0 \\ -(L - L_B)(X_A \cos\varphi + Y_A \sin\varphi) \end{pmatrix} \quad \begin{matrix} \vec{x}_o \\ \vec{y}_o \\ \vec{z}_o \end{matrix} \quad (16)$$

b. CALCUL DU MOMENT DE LA FORCE  $\vec{F}_B$

$$\vec{m}_{(F_B/G)} = \vec{m}_{(F_B/B)} + \vec{G}_B \wedge \vec{F}_B$$

$$\vec{m}_{(F_B/B)} = \vec{0} \quad \text{car } \vec{F}_B \text{ rentre l'axe au point B}$$

Calcul de  $\vec{G}_B \wedge \vec{F}_B$

$$\vec{F}_B = \begin{pmatrix} X_B \\ Y_B \\ Z_B \end{pmatrix} \begin{matrix} \vec{x}_o \\ \vec{y}_o \\ \vec{z}_o \end{matrix}$$

$$\vec{G}_B = \vec{O}_B - \vec{O}_G$$

$$\vec{O}_B = (R \cos \varphi - L \cos \psi) \vec{y}_o \quad (\text{Fig 2.2})$$

$$\vec{O}_G = -L_B \sin \psi \vec{x}_o + [R \cos \theta - (L - L_B) \cos \psi] \vec{y}_o \quad \text{d'après (g)}$$

$$\vec{G}_B = L_B \sin \psi \vec{x}_o + (-L_B \cos \psi) \vec{y}_o$$

$$= \begin{pmatrix} L_B \sin \psi \\ -L_B \cos \psi \\ 0 \end{pmatrix} \begin{matrix} \vec{x}_o \\ \vec{y}_o \\ \vec{z}_o \end{matrix}$$

$$\begin{aligned} \vec{G}_B \wedge \vec{F}_B &= \begin{pmatrix} L_B \sin \psi \\ -L_B \cos \psi \\ 0 \end{pmatrix} \begin{matrix} \vec{x}_o \\ \vec{y}_o \\ \vec{z}_o \end{matrix} \wedge \begin{pmatrix} X_B \\ Y_B \\ Z_B \end{pmatrix} \begin{matrix} \vec{x}_o \\ \vec{y}_o \\ \vec{z}_o \end{matrix} \\ &= \begin{pmatrix} 0 \\ 0 \\ L_B \sin \psi \cdot Y_B + L_B \cos \psi \cdot X_B \end{pmatrix} \begin{matrix} \vec{x}_o \\ \vec{y}_o \\ \vec{z}_o \end{matrix} \end{aligned}$$

$$\vec{m}_{(F_B/G)} = \begin{pmatrix} 0 \\ 0 \\ L_B(X_B \cos \psi + Y_B \sin \psi) \end{pmatrix} \begin{matrix} \vec{x}_o \\ \vec{y}_o \\ \vec{z}_o \end{matrix} \quad (17)$$

### 3.1.2 EQUATIONS SCALAIRES DE LA BIELLE

Les équations scalaires de la bielle sont obtenues en projetant les équations (13) et (14) sur les trois axes du repère  $(O, \vec{x}_0, \vec{y}_0, \vec{z}_0)$

La projection donne sur :

$$\vec{x}_0 : m_b \cdot \ddot{x}_0 = \ddot{x}_A + \ddot{x}_B$$

$$\vec{y}_0 : m_b \cdot \ddot{y}_0 = \ddot{y}_A + \ddot{y}_B$$

$$\vec{z}_0 : I_{GZ} \cdot \ddot{\varphi} = - (L - L_B)(\dot{x}_A \cdot \cos\varphi + \dot{y}_A \cdot \sin\varphi) + L_B(\dot{x}_B \cos\varphi + \dot{y}_B \sin\varphi)$$

Soit en remplaçons les accélérations par leurs valeurs, nous obtenons

$$\text{sur } \vec{x}_0 : m_b \cdot I_G \cdot \omega^2 \cdot \sin\varphi = \ddot{x}_A + \ddot{x}_B$$

$$\text{sur } \vec{y}_0 : m_b [R \cdot \omega [\varphi(1 - \frac{L_B}{L}) - \dot{\omega}] \cos\varphi + R \dot{\varphi} (1 - \frac{L_B}{L}) \sin\theta] = \ddot{y}_A + \ddot{y}_B \quad (18)$$

$$\text{sur } \vec{z}_0 : I_{GZ} \cdot \ddot{\varphi} = - (L - L_B)(x_A \cos\varphi + y_A \cdot \sin\varphi) + L_B(x_B \cos\varphi + y_B \sin\varphi)$$

### 3.2 ETUDE DYNAMIQUE DU PISTON

Les équations précédentes ne permettent pas de calculer les quatres inconnues  $x_A, y_A, x_B$  et  $y_B$ , il nous manque donc une autre équation. L'étude dynamique du piston nous permet d'enlever l'indétermination du système précédent.

En isolant le piston du système, trois actions mécaniques extérieures appliquées sur ce dernier apparaissent.

- L'action de la bielle sur le piston au point B  $-\vec{F}_B$
- L'action de la chemise sur sur le piston au point C  $\vec{F}_C$
- L'action des gaz sur le piston  $\vec{F}_P$

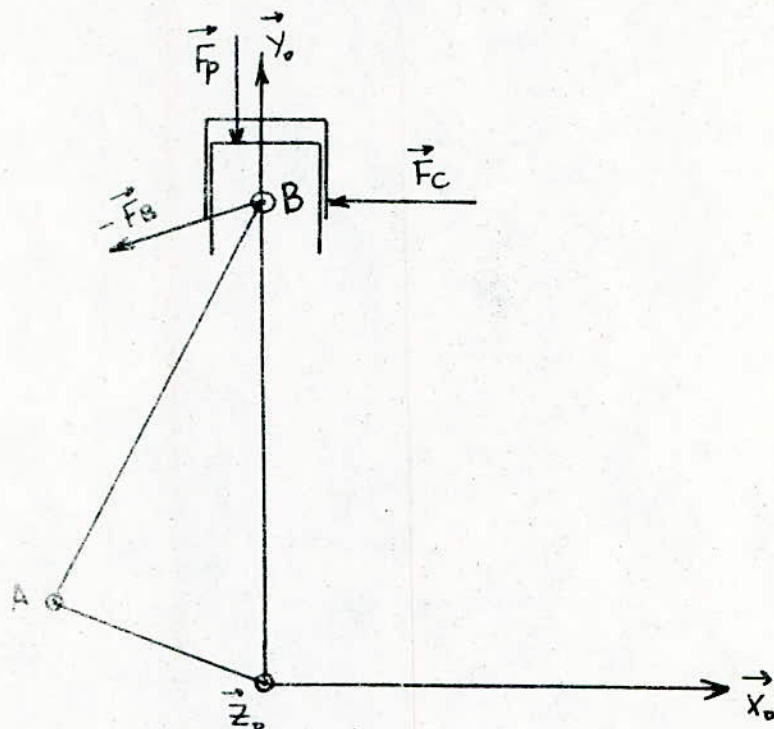


Fig 3.3 . ANALYSE DES ACTIONS MECANIQUES  
APPLIQUEES AU PISTON

le torsion des actions mécaniques au point B se réduit à  $\vec{F}_B$  et  $\vec{m}_B$

$$\vec{G}_B = \begin{Bmatrix} \vec{F}_B \\ \vec{m}_B \end{Bmatrix}$$

la liaison bielle-piston par l'intermédiaire de l'axe est l'opposée de liaison piston-bielle déjà étudiée

le moment  $\vec{m}_B = \vec{0}$  car  $\vec{F}_B$  rencontre l'axe au point B

$$-\vec{F}_B = \begin{pmatrix} -x_B \\ -y_B \\ -z_B \end{pmatrix} \vec{x}$$

le torseur des actions mécaniques au point C est :  $\mathcal{T}_C = \left\{ \begin{array}{l} \vec{F}_C \\ \vec{m}_c \end{array} \right\}$

$$\vec{F}_C = X_C \cdot \vec{x}_o = \begin{pmatrix} X_C \\ 0 \\ 0 \end{pmatrix} \vec{x}_o$$

$$\vec{m}_c = \vec{M}_{Fe/c} = \vec{0}$$

### 3.2.1 ACTION DES GAZ SUR LE PISTON

- On suppose que la pression des gaz est répartie uniformément sur la tête du piston et que le point d'application de l'effort résultant est centré sur la tête du piston. De ce fait le gaz n'exerce pas un moment sur le piston
- Les efforts dus aux gaz sont uniquement dirigés suivant  $-\vec{y}_o$  et dépendent de l'angle de rotation du vilebrequin  $\theta$ .

le torseur des actions mécaniques se réduit à  $\vec{F}_p$  et  $\vec{m}_p$

$$\vec{m}_p = \vec{0}$$

$$\vec{F}_p = -Y_p(\theta) \cdot \vec{y}_o = - \begin{pmatrix} 0 \\ -Y_p(\theta) \\ 0 \end{pmatrix} \vec{y}_o \quad \text{ou: } Y_p(\theta) = -S \cdot (P(\theta) - P_0)$$

avec

S: la section du piston

P( $\theta$ ): la pression des gaz en fonction de l'angle de rotation du vilebrequin

P<sub>0</sub>: la pression à l'intérieur du carton

### 3.2.2 EQUATIONS VECTORIELLES FONDAMENTALES DU PISTON

Les équations vectorielles fondamentales de la bielle sont :

$$\begin{aligned} m_p \vec{F}_B &= \sum \vec{F}_{\text{ext}} \text{ appliquées sur le piston} \\ \vec{S}(P/B) &= \sum \vec{M}_{(F_{\text{ext}}/B)} \end{aligned} \quad (20)$$

ou :

$m_p$ : la masse du piston et de ses accessoires

$\vec{S}(P/B)$ : le moment dynamique du piston par rapport au point B

$\vec{F}_B$ : l'accélération du piston

### 3.2.2.4 CALCUL DU MOMENT DYNAMIQUE

On a déjà défini le moment dynamique dans l'étude dynamique de la bille. Il est égal à la dérivée du moment cinétique du piston par rapport au point B.

$$\vec{S}(P/B) = \frac{d}{dt} (\vec{\Gamma}(P/B))$$

$$\text{le moment cinétique } \vec{\Gamma}(P/B) = I(P/B) \cdot \vec{\Omega}(P/O)$$

$I(P/B)$ : le tenseur d'inertie du piston dans le repère  $(B, \vec{x}_0, \vec{y}_0, \vec{z}_0)$

$\vec{\Omega}(P/O)$ : le vecteur rotation instantané du piston par rapport au point O

Le piston n'a aucune rotation par rapport au point O, donc son vecteur rotation instantané par rapport à ce point est nul

$$\vec{\Omega}(P/O) = \vec{0} \quad \text{donc} \quad \vec{\Gamma}(P/B) = \vec{0}$$

$$\text{d'où} \quad \vec{S}(P/B) = \vec{0}$$

$$\vec{S}(P/B) = \vec{0}$$

### 3.2.2 CALCUL DES MOMENTS DES FORCES PAR RAPPORT AU POINT B

toutes les forces appliquées au piston passent par le point B, donc leurs moments par rapport à ce point sont nuls

$$\vec{m}_{(\vec{F}_B/B)} = \vec{m}_{(\vec{F}_P/B)} = \vec{m}_{\vec{F}_C/B} = \vec{0}$$

donc :

$$\sum \vec{m}_{(\vec{F}_{ext}/B)} = \vec{0}$$

### 3.2.3 EQUATIONS SCALAIRES DU PISTON

les équations scalaires du piston s'obtiennent par projection des équations (20) sur les trois axes du repère fixe

En projetant ces équations on obtient sur :

$$\begin{aligned} \vec{x}_o : m_p \ddot{x}_B &= x_C - x_B \\ \vec{y}_o : m_p \ddot{y}_B &= -y_p(\theta) - y_B \end{aligned} \tag{21}$$

Soit en tenant compte de (12) nous obtenons :

$$\text{Sur } \vec{x}_o : 0 = x_C - x_B$$

$$\text{Sur } \vec{y}_o : m_p [R \cdot \omega \cdot (\dot{\varphi} - \omega) \cdot \cos \theta + R \cdot \ddot{\varphi} \cdot \sin \theta] = -y_p(\theta) - y_B \tag{22}$$

#### \* RESOLUTION DU SYSTEME D'EQUATIONS

La détermination des inconnues  $x_A, x_B, x_C, y_A$  et  $y_B$  nécessite la résolution d'un système de 5 équations à 5 inconnues, le système d'équations à résoudre est le suivant:

$$\left\{ \begin{array}{l} XA + XB + 0 + 0 + 0 = mb \cdot LB \cdot \omega^2 \sin \varphi \\ 0 + 0 + YA + YB + 0 = mb \cdot [R \cdot \omega \cdot (\dot{\varphi} - \omega - \frac{LB}{L} \dot{\varphi}) \cdot \cos \theta + (L - LB) \cdot \ddot{\varphi} \sin \varphi] \\ -(L - LB)XA \cdot \cos \varphi - (L - LB)YA \sin \varphi + LB \cdot XB \cdot \cos \varphi + LB \cdot YB \cdot \sin \varphi + 0 = I_G z \cdot \ddot{\varphi} \\ 0 - XB + 0 + 0 + XC = 0 \\ 0 + 0 + 0 - YB + 0 = -y_p(\theta) - m_p \cdot [R \cdot \omega \cdot (\dot{\varphi} - \omega) \cdot \cos \theta + R \cdot \ddot{\varphi} \cdot \sin \theta] \end{array} \right. \quad (23)$$

La résolution du système d'équation (23) donne :

$$Y_B = -Y_0(\varphi) - m_D [R \cdot \omega \cdot (\dot{\varphi} - \omega) \cdot \cos \theta + R \dot{\varphi} \cdot \sin \theta] \quad (24)$$

$$Y_A = -m_D [R \cdot \omega \cdot (\dot{\varphi} - \omega - \frac{L_B}{L} \dot{\varphi}) \cos \theta + (L - L_B) \dot{\varphi} \cdot \sin \varphi] - Y_B \quad (25)$$

$$X_A = \frac{1}{L \cdot \cos \varphi} (L_B \cdot Y_B \cdot \sin \varphi - (L - L_B) Y_A \cdot \cos \varphi + m_B \cdot L_B^2 \cdot \omega^2 \cdot \sin \varphi \cdot \cos \varphi - I_{GZ} \ddot{\varphi}) \quad (26)$$

$$X_B = -\lambda_1 + m_B \cdot L_B \cdot \omega^2 \cdot \sin \varphi \quad (27)$$

$$X_C = X_B \quad (28)$$

$$\vec{F}_A = \begin{pmatrix} x_A \\ y_A \end{pmatrix}, \quad \|\vec{F}_A\| = (x_A^2 + y_A^2)^{\frac{1}{2}}$$

la direction de  $\vec{F}_A$  par rapport à l'axe  $\vec{x}_0$  est définie par l'angle  $\delta_A$

$$\delta_A = \arctan \frac{y_A}{x_A}$$

$$\vec{F}_B = \begin{pmatrix} x_B \\ y_B \end{pmatrix}, \quad \|\vec{F}_B\| = (x_B^2 + y_B^2)^{\frac{1}{2}}$$

de même pour  $\vec{F}_A$  la direction de  $\vec{F}_B$  par rapport à  $\vec{x}_0$  est définie par l'angle  $\delta_B$  tel que :

$$\delta_B = \arctan \frac{y_B}{x_B}$$

$$\vec{F}_C = \begin{pmatrix} x_C \\ y_C \end{pmatrix}, \quad \|\vec{F}_C\| = |x_C|$$

$$\delta_C = 0$$

le calcul des efforts  $X_A$ ,  $X_B$ ,  $X_C$ ,  $Y_A$  et  $Y_B$  s'effectue sur micro-ordinateur dans l'ordre suivant :

on calcule d'abord  $Y_B$  ensuite  $Y_A$ ,  $X_A$ ,  $X_B$  et  $X_C$  (Voir Organigramme)

### 3.3 Expression des efforts dans les repères mobiles

pour l'exploitation des résultats on a besoin de connaître les efforts dans les deux repères mobiles, repère lié à la bielle et repère lié au maneton pour ce il suffit lors du traitement informatique de faire un changement de repère après résolution du système.

les coordonnées des efforts  $\vec{F}_A$  et  $\vec{F}_B$  dans les repères mobiles  $(O, \vec{x}_1, \vec{y}_1, \vec{z}_1)$  et  $(B, \vec{x}_2, \vec{y}_2, \vec{z}_2)$  sont les suivantes :

$$\vec{F}_A = \begin{pmatrix} X_A \\ Y_A \\ Z_A \end{pmatrix} \quad \begin{aligned} & \vec{x}_0 \\ & \vec{y}_0 \\ & \vec{z}_0 \end{aligned}$$

$$\begin{pmatrix} X_A \cdot \cos\theta + Y_A \cdot \sin\theta \\ -X_A \cdot \sin\theta + Y_A \cdot \cos\theta \\ Z_A \end{pmatrix} \quad \begin{aligned} & \vec{x}_1 \\ & \vec{y}_1 \\ & \vec{z}_1 \end{aligned} \quad (29)$$

$$\begin{pmatrix} X_A \cdot \cos\varphi + Y_A \cdot \sin\varphi \\ -X_A \cdot \sin\varphi + Y_A \cdot \cos\varphi \\ Z_A \end{pmatrix} \quad \begin{aligned} & \vec{x}_2 \\ & \vec{y}_2 \\ & \vec{z}_2 \end{aligned}$$

$$\vec{F}_B = \begin{pmatrix} X_B \\ Y_B \\ Z_B \end{pmatrix} \begin{matrix} \vec{x}_o \\ \vec{y}_o \\ \vec{z}_o \end{matrix}$$

$$= \begin{pmatrix} X_B \cdot \cos\theta + Y_B \cdot \sin\theta \\ -X_B \cdot \sin\theta + Y_B \cdot \cos\theta \\ Z_B \end{pmatrix} \begin{matrix} \vec{x}_1 \\ \vec{y}_1 \\ \vec{z}_1 \end{matrix} \quad (30)$$

$$= \begin{pmatrix} X_B \cos\varphi + Y_B \cdot \sin\varphi \\ -X_B \cdot \sin\varphi + Y_B \cdot \cos\varphi \\ Z_B \end{pmatrix} \begin{matrix} \vec{x}_2 \\ \vec{y}_2 \\ \vec{z}_2 \end{matrix}$$

Ces formules nous permettent par la suite de tracer les diagrammes polaires des efforts  $\vec{F}_A$  et  $\vec{F}_B$  dans les différentes repères.

## 4. CALCUL DU COUPLE MOTEUR

Le couple moteur pendant le temps moteur est continuellement variable. De plus, dans un moteur à quatre temps à un cylindre le temps moteur ne se produit qu'une fois sur deux tours du vilebrequin. Dans un tel moteur, le couple varie dans de très grandes proportions au cours d'un cycle et on peut dire que le moteur fonctionnera par à-coup, entraînant des vibrations de régime important et des vibrations préjudiciables à la mécanique.

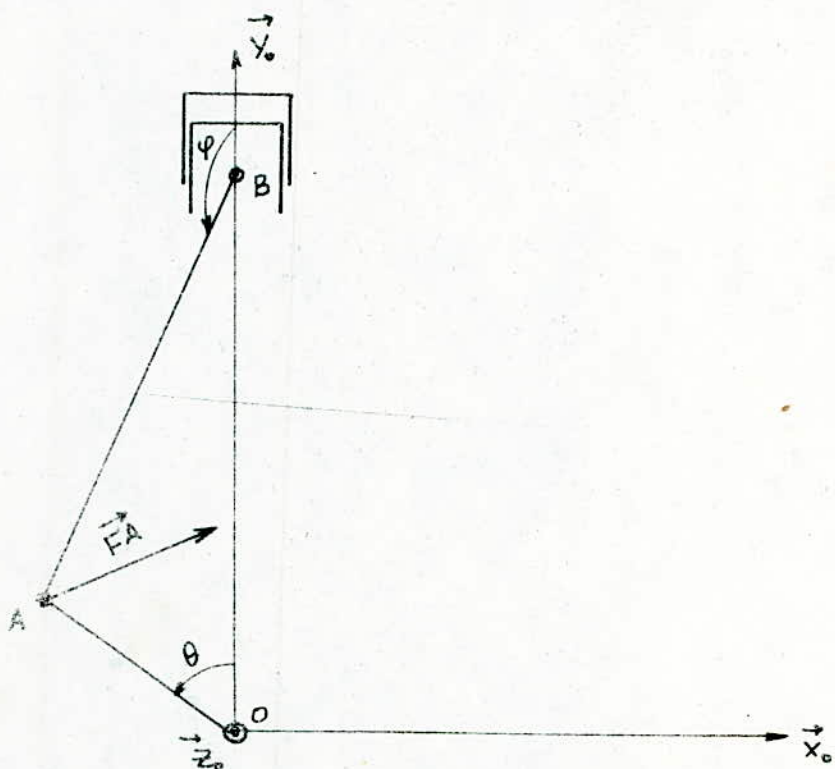


Fig 4.1 . Système bielle-manivelle

par définition le couple moteur a pour expression

$$\vec{C} = \vec{F}_A \times \vec{\omega}_A$$

(31)

dans la formule (31) on désigne par  $C$ : le couple moteur et par  $\Lambda$ : produit vectoriel

$$\vec{FA} = \begin{pmatrix} X_A \\ Y_A \\ Z_A \end{pmatrix} \vec{x}_o$$

$$\vec{OA} = \begin{pmatrix} -R \sin \theta \\ R \cos \theta \\ 0 \end{pmatrix} \vec{x}_o$$

$$\begin{aligned} \vec{C} &= \vec{FA} \wedge \vec{OA} = \begin{pmatrix} X_A \\ Y_A \\ Z_A \end{pmatrix} \vec{x}_o \wedge \begin{pmatrix} -R \sin \theta \\ R \cos \theta \\ 0 \end{pmatrix} \vec{x}_o \\ &= \begin{pmatrix} 0 \\ 0 \\ X_A \cdot R \cos \theta + Y_A \cdot R \sin \theta \end{pmatrix} \vec{x}_o \end{aligned}$$

$$\vec{C} = R (X_A \cos \theta + Y_A \sin \theta) \vec{z}_o$$

le module du couple moteur est:

$$C = R (X_A \cos \theta + Y_A \sin \theta)$$

(32)

#### 4.4 Couple dû aux pressions des gaz

Le couple dû aux pressions des gaz est le couple moteur à pleine charge sans tenir compte de l'effet d'inertie des pièces en mouvement.

La pression régnant dans le cylindre à un instant donne exerce des efforts

sur la chemise, la culasse et le piston, les efforts ainsi mis en jeu sont des forces purement intérieures au moteur.

Les pressions radiales agissant sur la chemise s'auto-equilibrent.

Les forces agissant sur le piston ont des directions fixes et d'intensités variables et sont périodiques de période  $4\pi$ .

Ces forces ayant agi sur le piston se transmettent intégralement (aux frottements près) au maneton du vilebrequin par l'intermédiaire de la bielle pour fournir le couple du aux gaz.

Le couple est obtenu en égalant dans la formule du couple total toutes les masses en mouvements c'est à dire la masse de la bielle et la masse du piston.

On note par  $C_g$  le couple du aux gaz

$$C_g = R(X_A \cos \theta + Y_A \sin \theta) \quad \text{avec } m_b = m_p = 0$$

$X_A$  et  $Y_A$  sont données par les formules 25 et 26

#### 4.2 Couple aux inerties des pièces en mouvement

Le couple des aux inerties des pièces en mouvement est le couple moteur à charge nulle. Ce couple est calculé en faisant tourner le moteur sans alimentation en combustible. Son expression se déduit du couple total dans lequel on annule l'avarage de l'pression.

On désigne par  $C_i$  le couple des aux inertie :

$$C_i = R \cdot (X_A \cdot \cos\theta + Y_A \cdot \sin\theta) \quad \text{avec } \Delta P = P(\theta) - P_0 = 0$$

le couple  $C_i$  peut être calculé d'une autre manière connaissant que le couple total est la somme de deux couples:

- couple du gaz

- couple des aux inerties

$$C = C_g + C_i \quad \text{d'où} \quad C_i = C - C_g$$

#### 4.3 Décomposition du couple en série de Fourier

Le développement du couple moteur en série de Fourier est nécessaire à l'étude des vibrations de torsion du vilebrequin. La connaissance des harmoniques du couple moteur nous permet de connaître à quelle fréquence se produit la résonance du système, cette engendre des conséquences dans le moteur.

Ainsi pour procéder au développement du couple moteur en série de Fourier

On a besoin du théorème suivant:

Théorème:

Si une fonction  $f(x)$  est périodique de période  $2T$ , monotone par tronc et bornée sur l'intervalle  $[0, 2T]$ , elle est décomposable en série de Fourier et la somme de sa série converge en tous points vers sa somme  $f(x)$ .

dans notre cas le couple vérifie les conditions de ce théorème. Il est périodique de période  $4\pi$ .

Sa décomposition en série de Fourier est donnée par :

$$C(\theta) = C_0 + \sum_{n=1}^{\infty} a_n \cos \frac{2\pi}{T} n\theta + b_n \sin \frac{2\pi}{T} n\theta$$

ou :

$T$ : la période  $T = 4\pi$

$C_0$ : le couple moteur moyen

$a_n$  et  $b_n$  sont les amplitudes de l'harmonique d'ordre  $n$ , elles sont homogènes au couple et sont appelées coefficients de Fourier

les coefficients  $C_0$ ,  $a_n$  et  $b_n$  sont donnés par les formules de Fourier suivantes:

$$C_0 = \frac{1}{4\pi} \int_0^{4\pi} C(\theta) d\theta \quad (40)$$

$$a_n = \frac{1}{2\pi} \int_0^{4\pi} C(\theta) \cos \frac{n\theta}{2} d\theta \quad (41)$$

$$b_n = \frac{1}{2\pi} \int_0^{4\pi} C(\theta) \sin \frac{n\theta}{2} d\theta \quad (42)$$

pour avoir une approximation suffisante du couple moteur, nous prendrons les dix premières harmoniques du développement.

$$C(\theta) \approx \sum_{n=1}^{10} a_n \cos \frac{n\theta}{2} + b_n \sin \frac{n\theta}{2} + C_0$$

où :  $a_n$ ,  $b_n$  et  $C_0$  sont données par les formules (40, 41, 42)

le couple due à la pression des gaz se décompose de la même manière que le couple total

$$C_g(\theta) = C_0 + \sum_{n=1}^{10} a_{np} \cdot \cos \frac{n\theta}{2} + b_{np} \cdot \sin \frac{n\theta}{2}$$

$a_{np}$  et  $b_{np}$ : Sont les amplitudes de l'harmonique d'ordre  $n$  du couple  $C_g$ .

$C_0$ : le couple moteur moyen

Avec

$$a_{np} = \frac{1}{2\pi} \int_0^{4\pi} C_g(\theta) \cdot \cos \frac{n\theta}{2} d\theta$$

$$b_{np} = \frac{1}{2\pi} \int_0^{4\pi} C_g(\theta) \cdot \sin \frac{n\theta}{2} d\theta$$

Couple due aux inerties:

Le couple due aux inerties est périodique de période  $4\pi$ . Sa décomposition en série de Fourier est donnée par:

$$C_i(\theta) = \sum_{n=1}^{\infty} a_{ni} \cos n\theta + b_{ni} \sin n\theta$$

ou

$a_{ni}$  et  $b_{ni}$  sont les harmoniques d'ordre  $n$  du couple  $C_i$ . Elles sont données par les formules de Fourier suivantes:

$$a_{ni} = \frac{1}{\pi} \int_0^{2\pi} C_i(\theta) \cdot \cos n\theta d\theta$$

$$b_{ni} = \frac{1}{\pi} \int_0^{2\pi} C_i(\theta) \cdot \sin n\theta d\theta$$

pour garder les 10 premières harmoniques dans le couple due aux inerties on doit s'arrêter à  $n=5$  donc :

$$C_i(\theta) = \sum_{n=1}^5 a_{ni} \cos n\theta + b_{ni} \sin n\theta.$$

## 5. ETUDE THERMODYNAMIQUE DU MOTEUR

Dans l'étude thermodynamique on se limitera à la détermination de la loi d'évolution de la pression du cycle en fonction de l'angle de rotation du vilebrequin. Pour cela on se base sur le cycle quasi-reel.

### 5.1 Cycle.

On appelle cycle l'ensemble des évolutions que subit une masse du mélange depuis son entrée dans le cycle jusqu'à sa sortie dans l'atmosphère, avec variation de volume, de pression et de la température.

#### Cycle quasi-reel

Le travail sur le cycle réel du moteur nécessite des moyens importants, le cycle quasi-reel est plus proche du cycle réel à partir du cycle.

Pour calculer la pression en fonction de l'angle de rotation du vilebrequin est une donnée pour faire l'application sur un moteur (Fig. 9 voir ANNEX) mais comme la société qui fabrique ces moteurs n'en nous a pas donné le cycle thermodynamique de ce moteur, on a pris le cycle quasi-reel pour faire notre application.

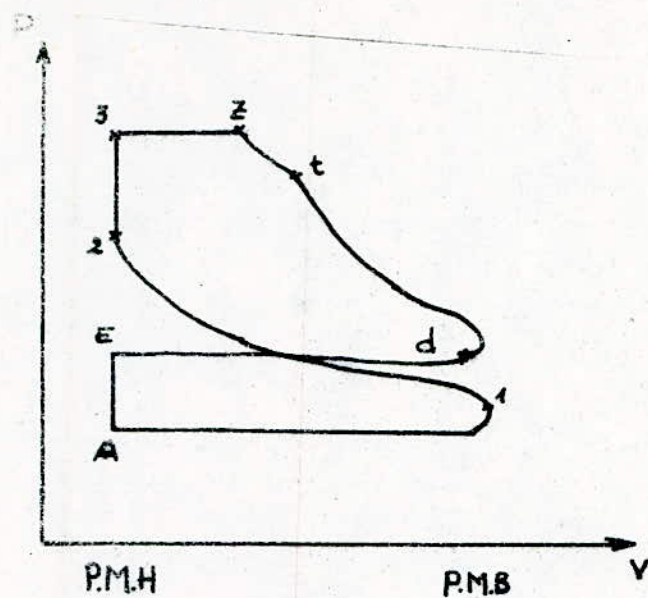


Fig 5.1 Cycle quasi-reel

le cycle quasi-reel est compose par :

- 3 evolutions à pression constante (A-1, E-D, 3-Z)

- 1 evolution à volume constant (2-3)

- 1 evolution isothermique (Z-t)

- 2 evolutions polytropiques (1-2, t-d)

## 5.2 Phases principales du cycle quasi-reel

les phases principales du cycle quasi-reel sont :

1-1 admission à pression constante

1-2 compression polytropique

2-2 combustion à volume constant

3- $\epsilon$ : Combustion à pression constante

z-t détente isothermique

t-d détente polytropique

d-E échappement à pression constante

### 5.3 Expression de la pression durant les phases du cycle

a. Admission:

Les phénomènes d'admission étant trop compliqués. Nous admettons des hypothèses simplificatrices en vue de traduire mathématiquement les processus d'admission. Les hypothèses sont :

- gaz supposé parfait

- déroulement isentropique

- admission isobare

l'ouverture de la soupape d'admission et la fermeture de la soupape d'échappement se font au point mort haut

de ces hypothèses, la pression d'admission est donnée par :

$$P_A = 1,03 P_0 \left[ 1 - \frac{N^2}{1,25 \cdot 10^8} \left( \frac{\epsilon - 0,5}{\epsilon - 1} \right) \right]^{\frac{\gamma}{\gamma - 1}}$$

P0 : pression atmosphérique en atm

N : vitesse de rotation du moteur en trs/mn

γ : rapport de compression du moteur

Supposéent adiabatique

P0 : pression d'admission en atm

## b. Compression:

La compression dure du point mort bas au point mort haut. Son évolution est polytropique d'exposant constant. connaissant les paramètres (pression et volume) en fin d'admission . L'équation d'état de la thermodynamique donne:

$$P_A \cdot V_A = P \cdot V^{\gamma_C} \quad \text{d'où}$$

$$P = P_A \cdot \left( \frac{V_A}{V} \right)^{\gamma_C}$$

$\gamma_C$ : Coefficient de la polytropique pendant la compression

$P_A$  et  $V_A$ : Sont la pression et le volume en fin d'admission

$P$  et  $V$ : sont la pression et le volume pendant la phase compression

$$V = S \cdot \alpha + V_A$$

$S$ : Section du piston

$\alpha$ : déplacement du piston à partir du P.M.H

$$\alpha = R \cdot \left[ (1 - \cos \theta) + \frac{R}{4L} (1 - \cos 2\theta) \right]$$

## c. Combustion

la combustion est le processus qui se déroule dans le cylindre a partir de l'apparition de l'étincelle jusqu'à l'instant où toute l'énergie de combustion est libérée. dans cette phase la pression atteint sa valeur maximale, elle est constante durant la phase de combustion sa valeur varie entre  $(1,4 \text{ et } 2) \cdot P_2$ ,  $P_2$  étant la pression à la fin

si on désigne par  $P_E$  la valeur de la pression maximale  
(voir Fig 5.1)

$$P_2 \in [1.4 - 2] \cdot P_E$$

Avec

$P_E$  toutes les valeurs inférieures pour les moteurs à essence  
et les valeurs supérieures pour les moteurs diesel.

#### d. Detente:

La détente est le seul temps moteur des 4 temps temps du  
moteur, elle compose par: (Voir Fig 5.1)

une évolution isothermique du point Z au point t suivie d'une  
détente polytropique d'exposant constant  $\gamma_d$  du point t au point d.

#### \* Détente isothermique:

Soit  $P$  et  $V$  respectivement la pression et le volume dans cette phase.  
La loi de MARIOTTE donne pour une évolution isothermique

$$P = P_Z \frac{V_Z}{V}$$

$V_Z$  : le volume à la fin de la combustion

#### \* Détente polytropique:

en utilisant la loi d'état de la thermodynamique pour une  
évolution polytropique la pression dans cette phase a pour expression

$$P = P_t \left( \frac{V_t}{V} \right)^{\gamma_c}$$

ou :

$P_t$  et  $V_t$  sont respectivement la pression et le volume à la fin de la détente isothermique.

### e. Echappement.

c'est la phase d'évacuation des gaz brûlés, produits par la combustion, elle se fait à pression constante. La valeur de la pression d'échappement notée  $P_E$  est donnée dans des plages

$$P_E \in [1.1 - 1.15] \text{ bars}$$

### 5.4 Recapitulatif de La pression en fonction de $\theta$

$$x = R (1 - \cos \theta + \frac{R}{4L} (1 - \cos 2\theta))$$

$$V = S \cdot x + V_A$$

.. A dimension

$$P_A = 1.03 P_0 \left( 1 - \frac{N^2}{1.25 \cdot 10^8} \cdot \frac{\epsilon - 0.5}{\epsilon - 1} \right)^{\frac{\gamma}{\gamma - 1}}$$

.. Compression

$$P = P_A \cdot \left( \frac{V_A}{V} \right)^{\gamma_c}$$

.. Combustion

$$P_Z = (1.4 \text{ à } 2) \cdot P_2$$

- détente

\* isothermique

$$P = P_z \cdot \frac{V_z}{V}$$

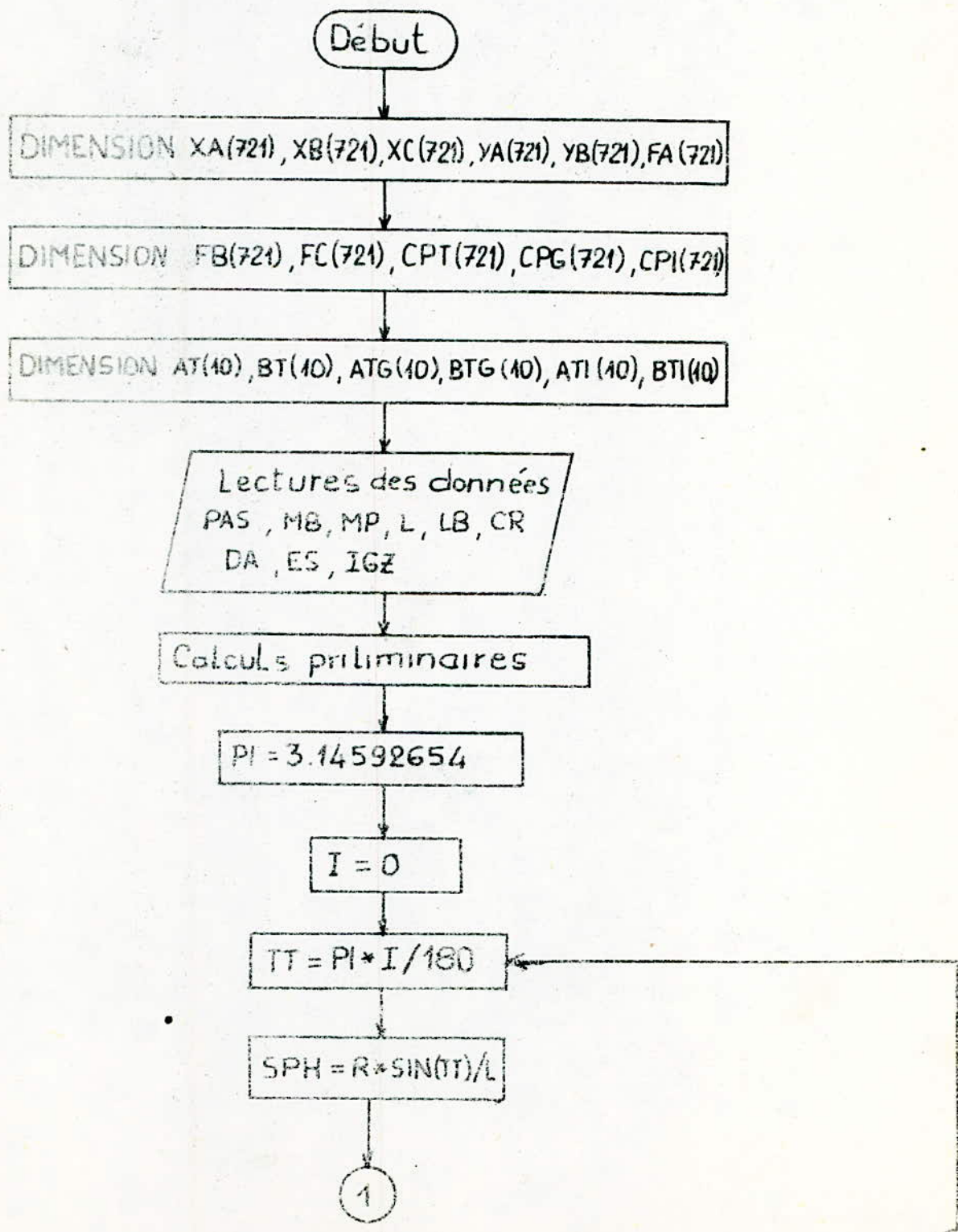
\* polytropique

$$P = P_t \cdot \left( \frac{V_t}{V} \right)^{\gamma_d}$$

- Echappement

$$P_E = 1.1 \text{ à } 1.15 \text{ bars}$$

## ORGANIGRAMME



3

1

$$CPH = - \text{SQR}(1 - SPH^2)$$

$$PHP = R * W * \text{COS}(\text{TT}) / (L * CPH)$$

$$PHPP = (PHP^2 - W^2) * SPH / CPH$$

NON

$I \leq 180$

OUI

Calcul de la pression  
d'admission

$$I \leq 360$$

OUI

Calcul de la pression pendant  
la compression

$$X \leq X_1$$

OUI

Calcul de la pression de  
fin de combustion

$$X \leq X_2$$

OUI

Calcul de la pression pendant  
la détente isothermique

$$X \leq X_2$$

NON

$$I \leq 540$$

OUI

Calcul de la pression pendant  
la détente polytropique

$$I \leq 540$$

NON

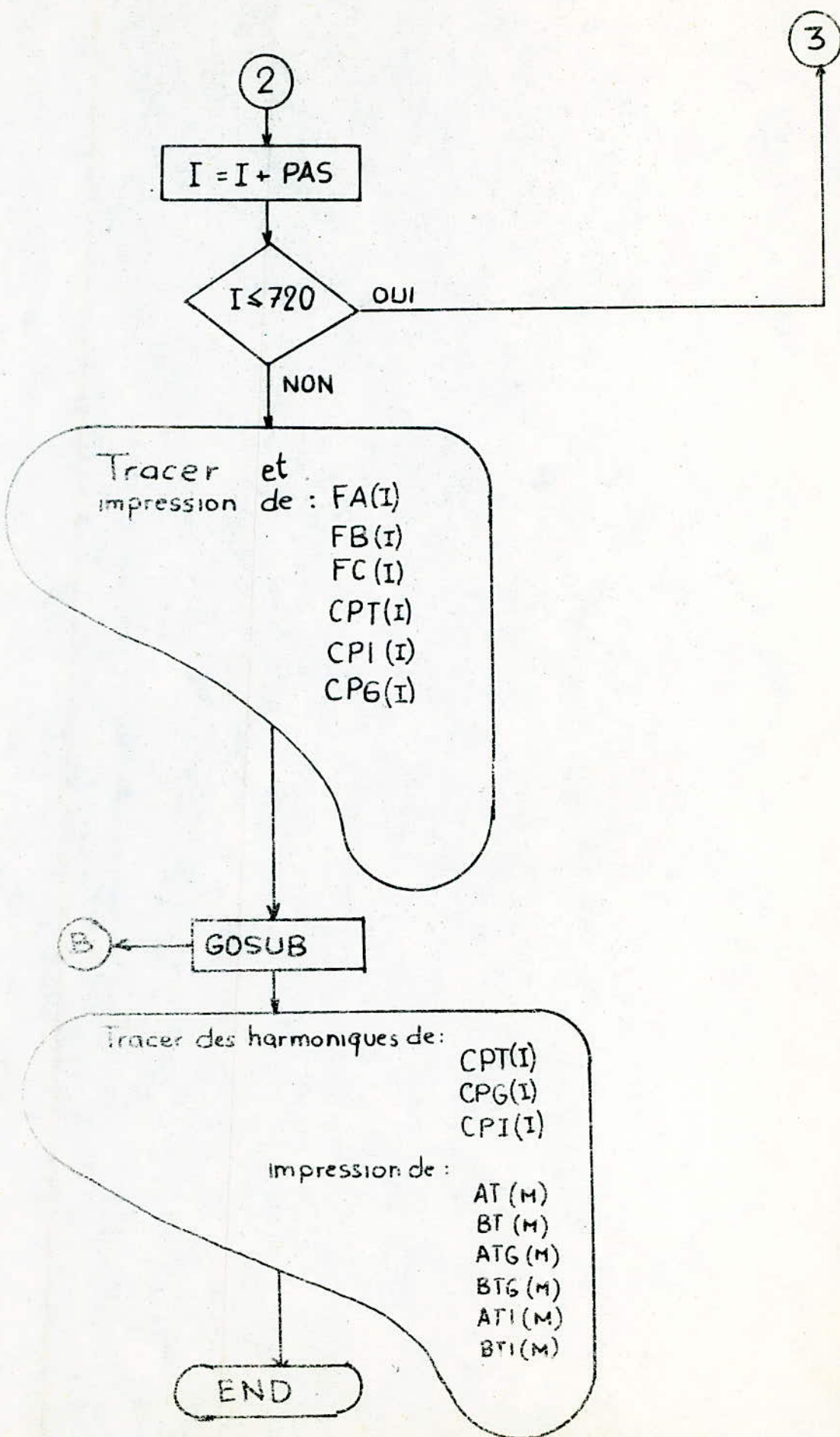
Calcul de la pression  
d'échappement

A

GOSUB

3

2



## Sous programme (A) :

le sous programme (A) permet de calculer:

- les efforts  $X_A, X_B, X_C, Y_A, Y_B, F_A, F_B$  et  $F_C$
- le couple total CPT
- le couple du à la pression des gaz CPG
- le couple du aux inertie CPJ

## Sous programme (B) :

dans ce sous programme on calcule les amplitudes (coefficients de Fourier) des harmoniques du:

- Couple total
- Couple du aux gaz
- Couple d'inertie

## Notations utilisées dans l'organigramme:

les notations utilisées dans cette organigramme autre que celle qui ont déjà été définie sont:

PAS : pas de calcul

CR : la course du piston

DA : l'abscisse du piston

ES : E le taux de compression

TT : l'angle  $\theta$  exprimé en radian

$$SPH = \sin \varphi$$

$$CPH = \cos \varphi$$

$$PHP = \varphi$$

$$PHPP = \dot{\varphi}$$

$$W = \omega$$

$x_1$  : L'abscisse du piston au point de fin combustion compté à partir de P.M.H

$x_2$  : L'abscisse correspondant à la fin de la détente isothermique

## CONCLUSION

Ce projet de fin d'étude, à pour thème le calcul des actions mécaniques mécaniques dans l'emballage d'un moteur à l'aide de méthodes élaborées, tel que, la méthode de la bielle fictive et la méthode vectorielle. Cette dernière est plus rigoureuse que la première et s'adapte très bien à une exploitation par ordinateur.

Pour terminer cette étude, il nous a semblé intéressant, de vérifier le travail effectué par une application sur un moteur bien particulier fabriqué par la C.I.MO.TRA de type F4L912. En fin de compte, les résultats ainsi obtenus sont en accord avec les données théoriques et pratiques et offrent de diverses possibilités d'exploitation, entre autre le dimensionnement du système bielle-manivelle.

En outre pour ramener à bien cette application, on a jugé bon de présenter les résultats sous forme de courbes et de diagrammes pouvant être directement utilisés pour dimensionner les différents éléments; ainsi, par exemple, les diagrammes polaires, qui comportent sous une forme ramassée les informations concernant l'intensité et la direction des efforts, nous permettent d'une part de dimensionner l'axe du piston, la bielle et le coussinet, à partir des intensités de l'effort maximal et de l'effort moyen, et d'autre part d'envisager les trous d'arrivée d'huile de graissage, ceci est surtout rendu possible grâce à la connaissance de la direction des efforts.

L'étude dynamique d'un moteur et un domaine très vaste et à elle seule pourrait constituer l'objet de plusieurs projets de fin d'études, notre étude s'est limitée au système bielle-manivelle ; toutefois on pourrait concevoir des suites possibles tel que :

- Etude dynamique du système bielle-manivelle pour un moteur en étoile.
- Dimensionnement et graissage du piston.

Esperons que ce modeste travail puisse enrichir la compréhension sur l'étude dynamique des systèmes-bielle-manivelle et ainsi contribuer à agrandir le domaine sur l'étude dynamique du moteur.

# **ANNEXE**

## APPLICATION SUR UN MOTEUR F4L912

Afin de mettre le programme en évidence on a fait une application sur un moteur F4L912. Ce type de moteur est fabriqué par La C.MO.TRA (Complexe moteurs tracteurs) à CONSTANTINE

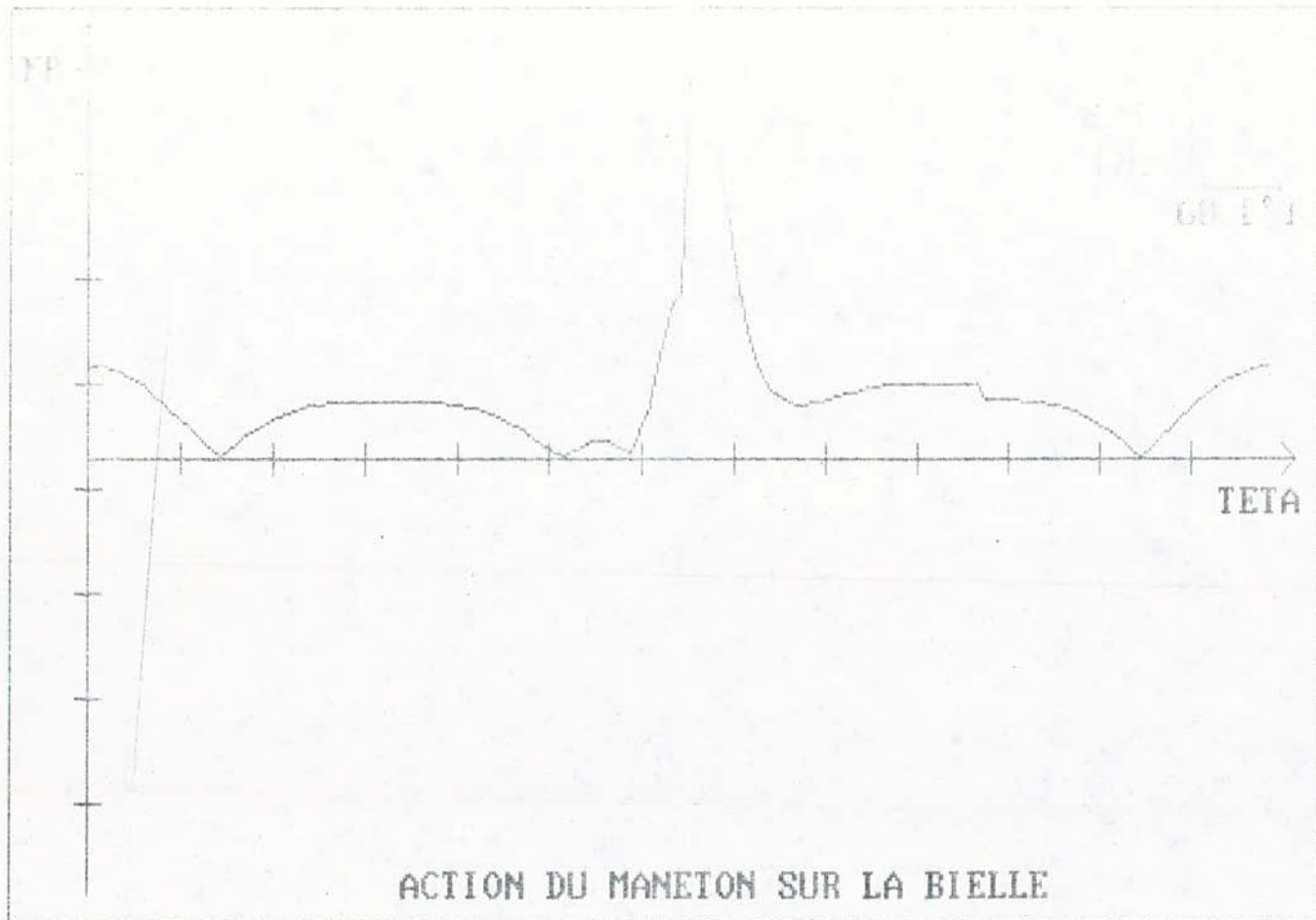
Les données qui nous ont été fournies par cette Société sont :

- La masse du piston et ses accessoires  $m_p = 1.635 \text{ kg}$
- La masse de la bielle  $m_b = 1.700 \text{ kg}$
- Le taux de compression  $\epsilon = 17$
- L'alesage du piston  $D = 0.1 \text{ m}$
- La course du piston  $C = 0.12 \text{ m}$

Résultats : (voir pages suivantes)

Les résultats sont données sous formes de courbes.

- pour les efforts les courbes sont tracées en coordonnées cartesiennes et en coordonnées polaires.
- pour le couple on a tracé le couple du à la pression des gaz le couple du aux inerties des pièces en mouvement, le couple total et les amplitudes de leurs harmoniques



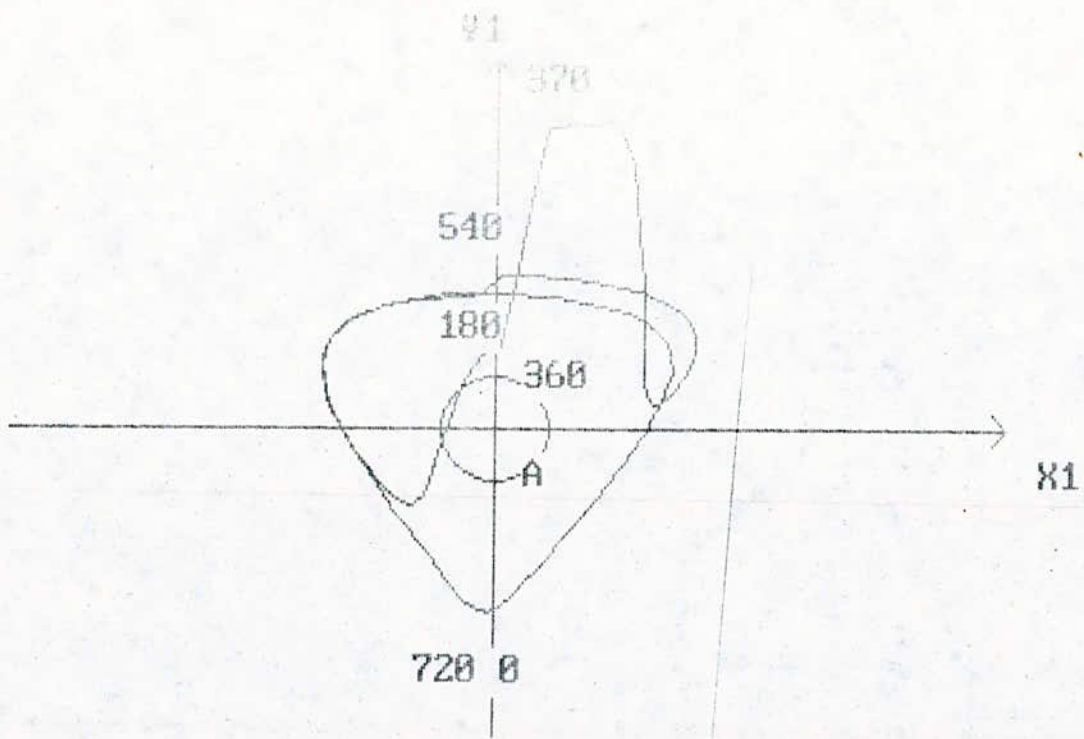
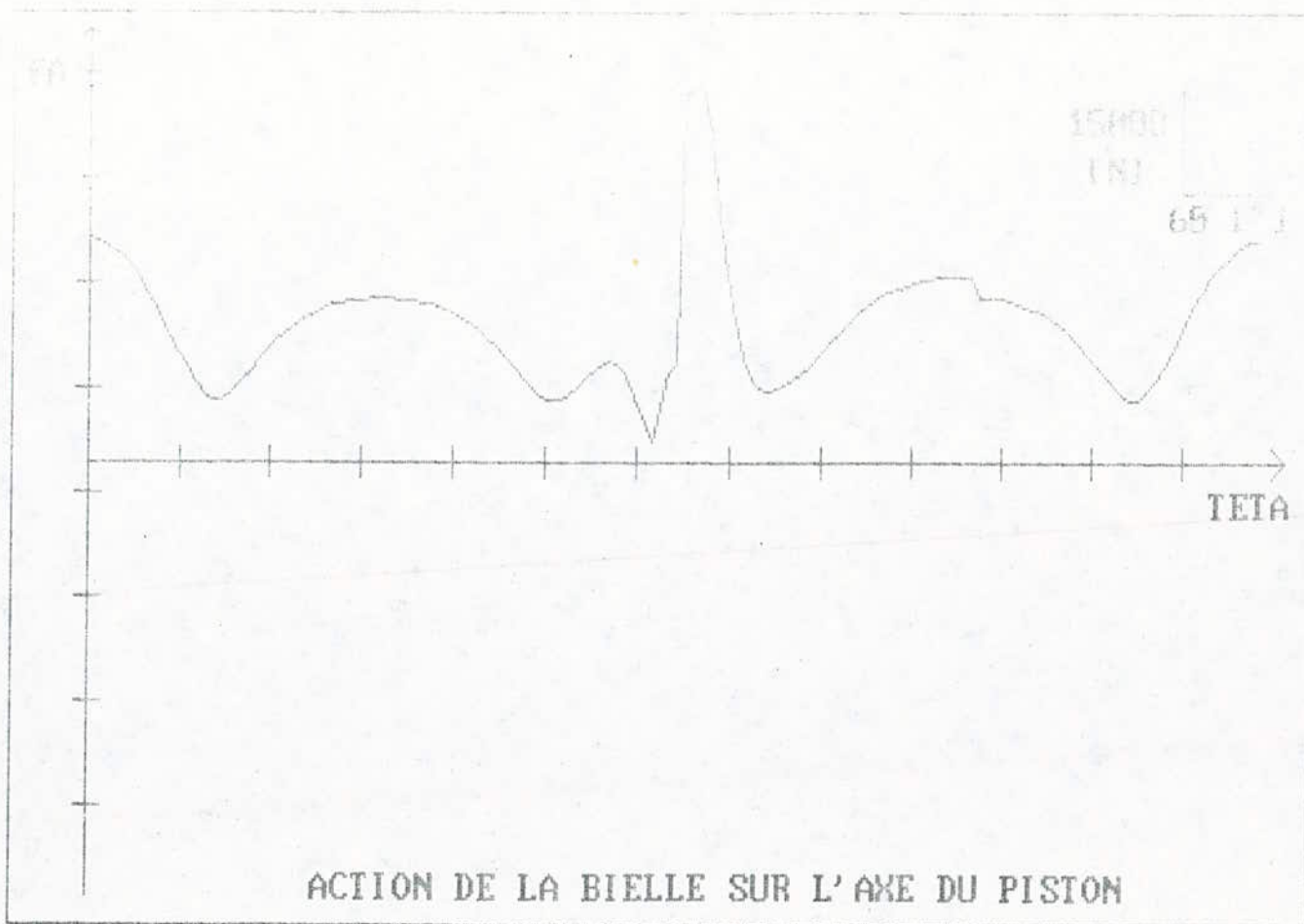


DIAGRAMME POLAIRE DE FA DANS LE REPERE  
LIE AU MANETON



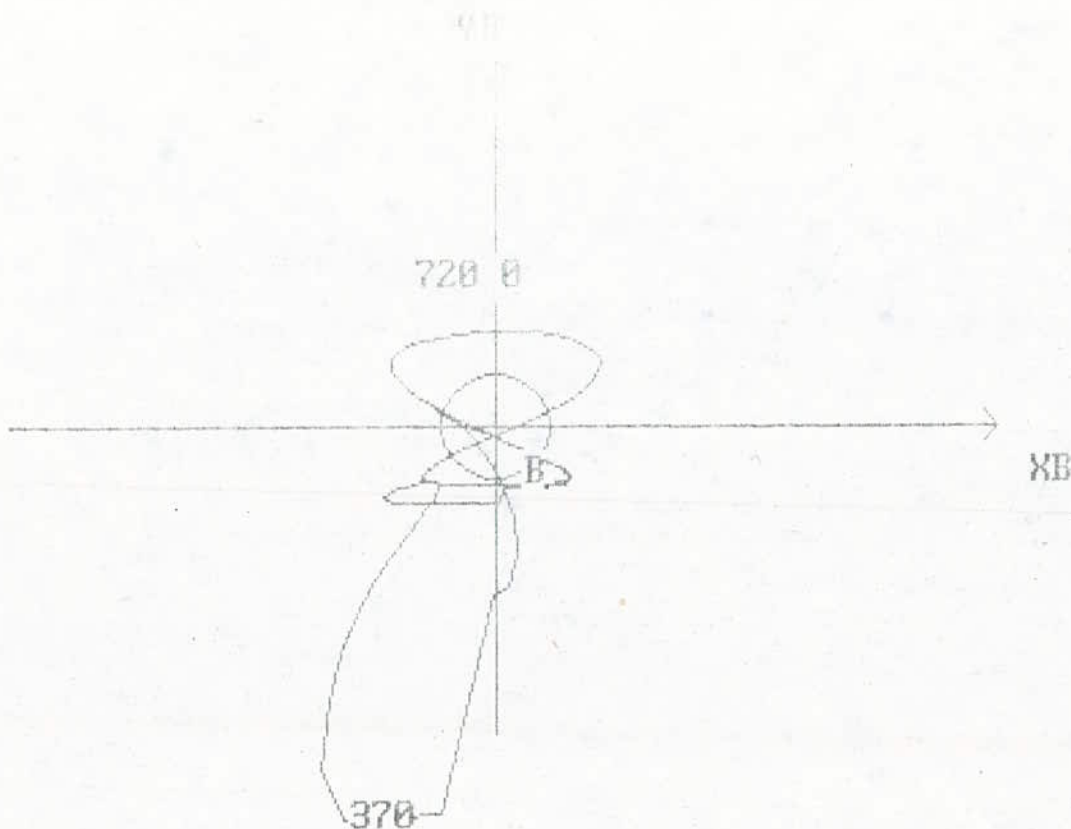
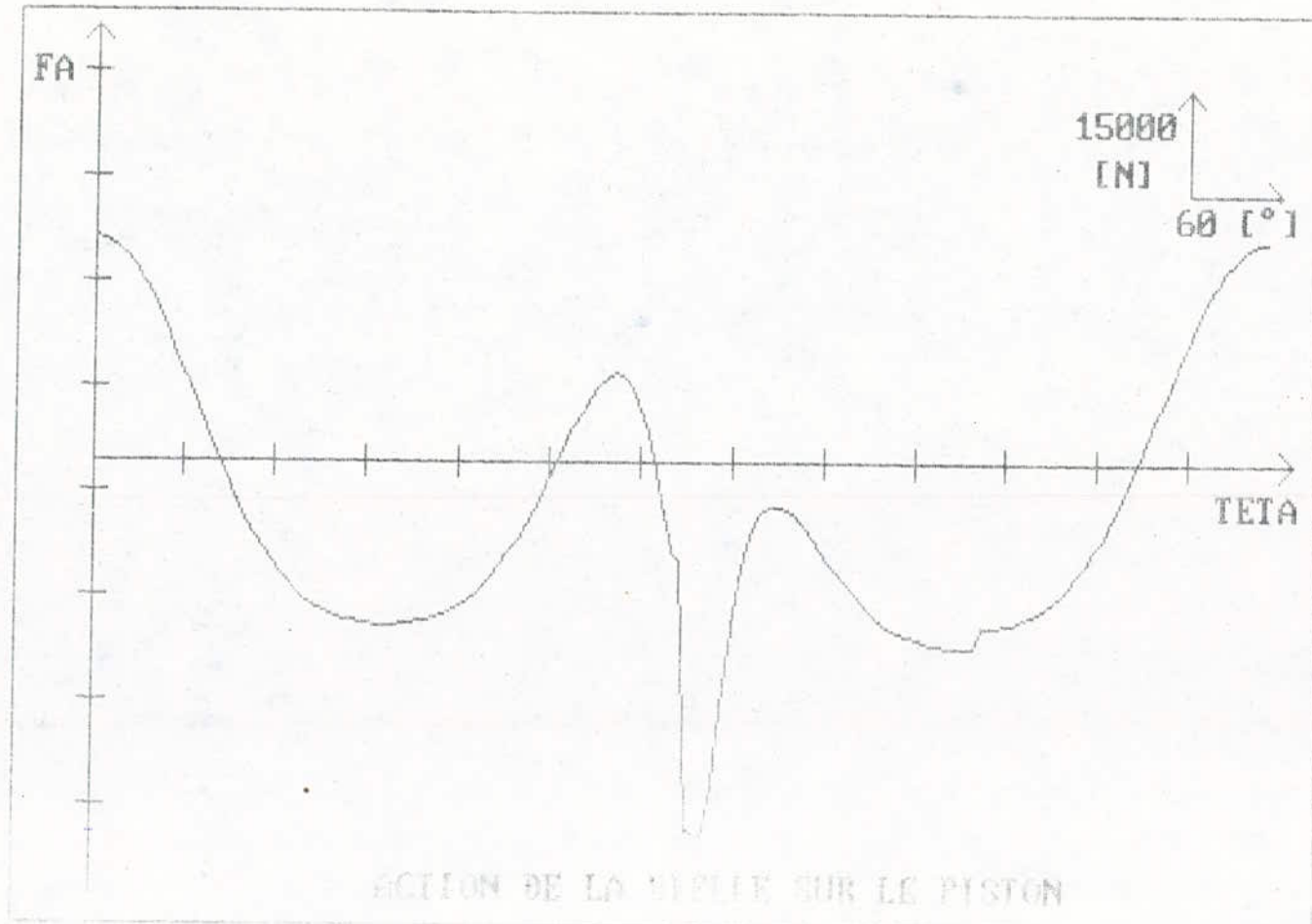
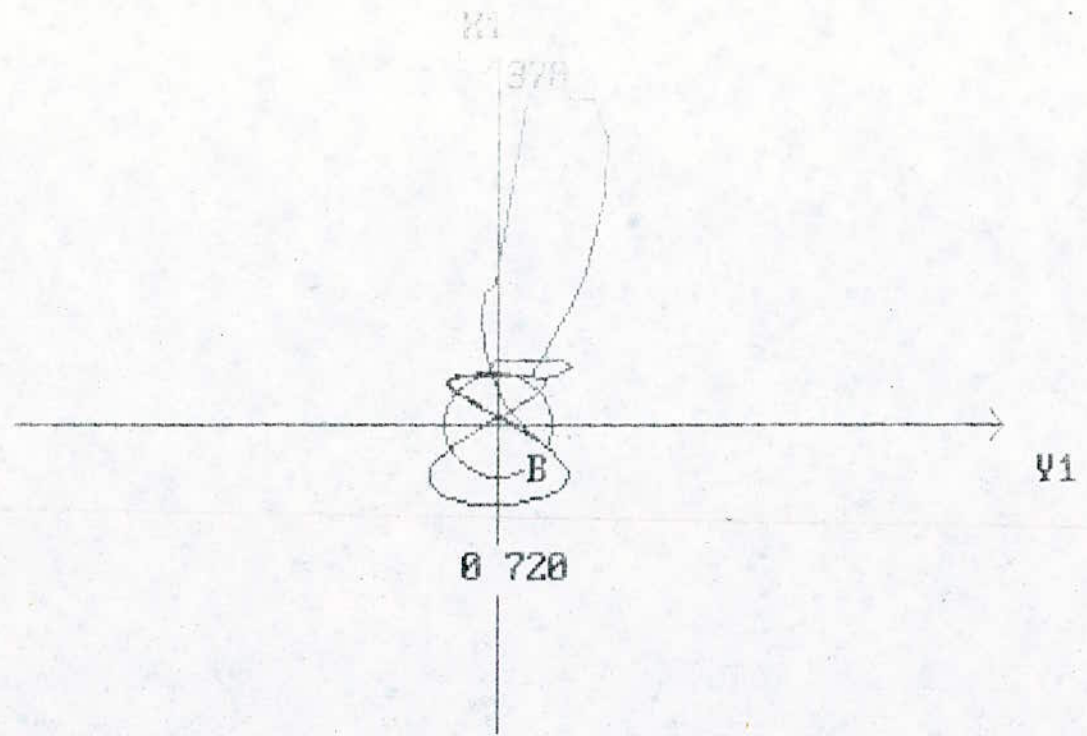
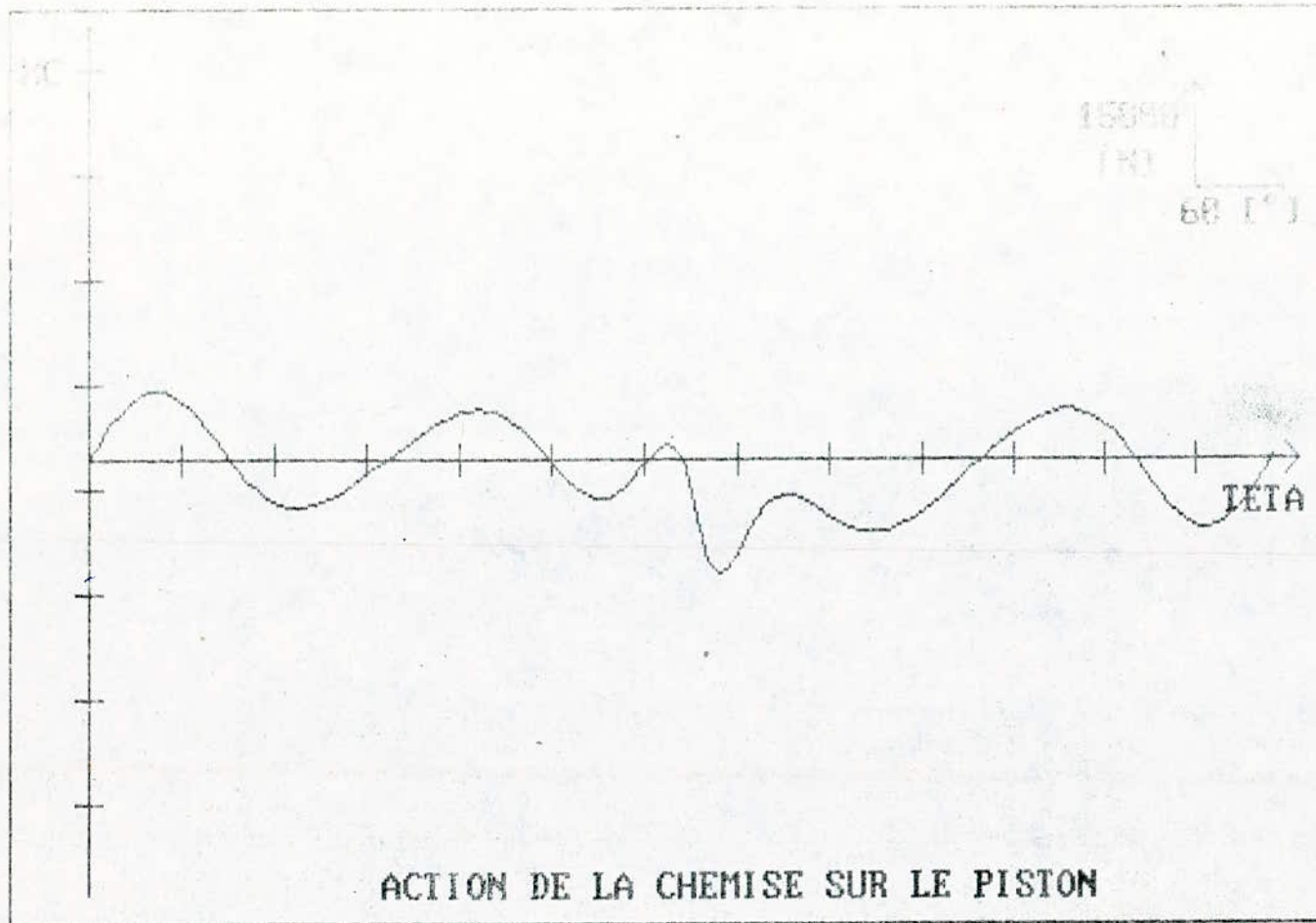


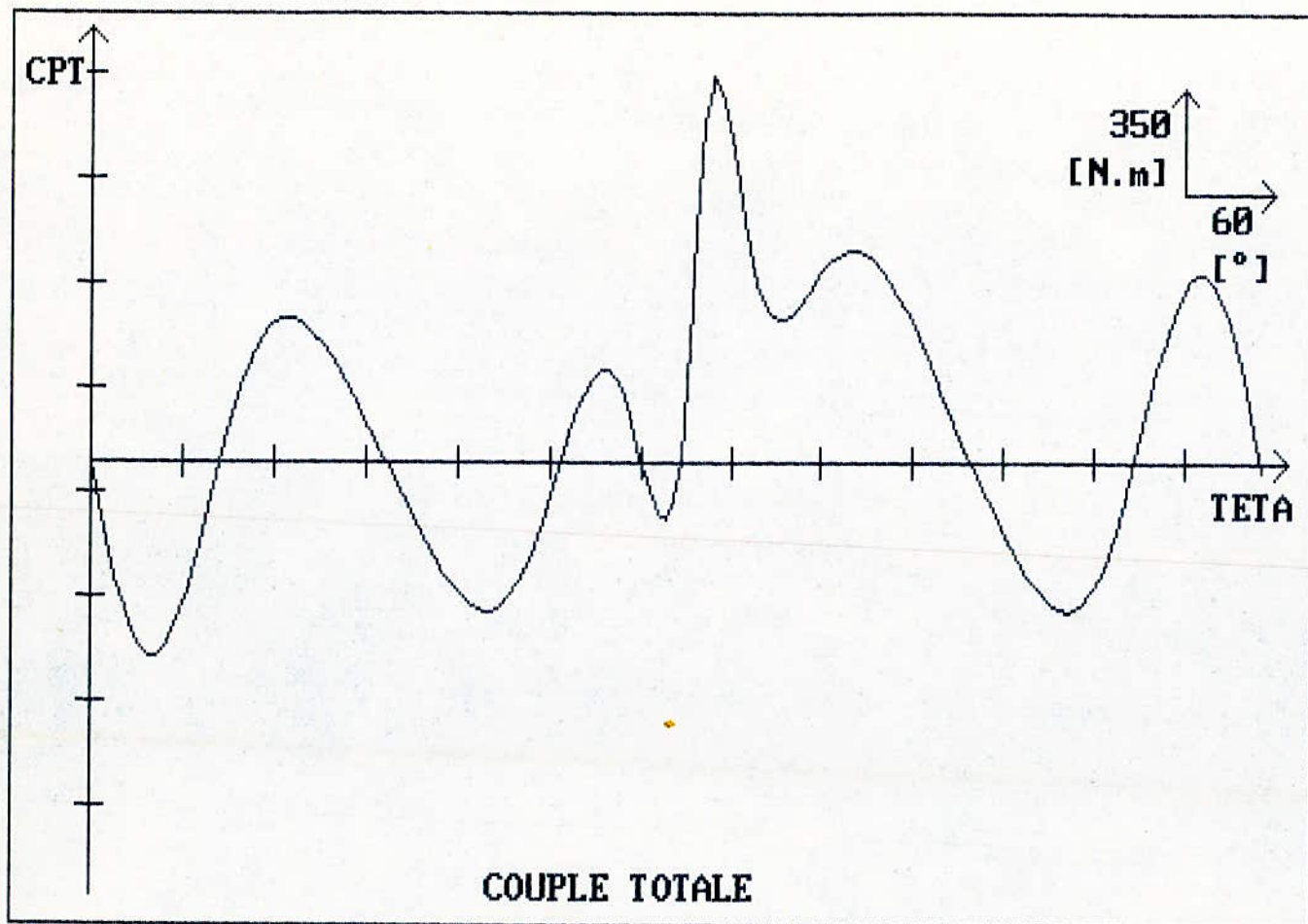
DIAGRAMME POLAIRE DE L'EFFORT  $F_B$  SUR L'AXE DU PISTON





COURBE POLAIRE DE FB DANS LE REPERE LIE A LA BIELLE







↑

+

+

+

+

+

+

+

+

+

+

harmonique d'ordre :  $1/2$



↑

+

+

+

+

+

+

+

+

+

+

harmonique d'ordre :  $1$



↑

+

+

+

+

+

+

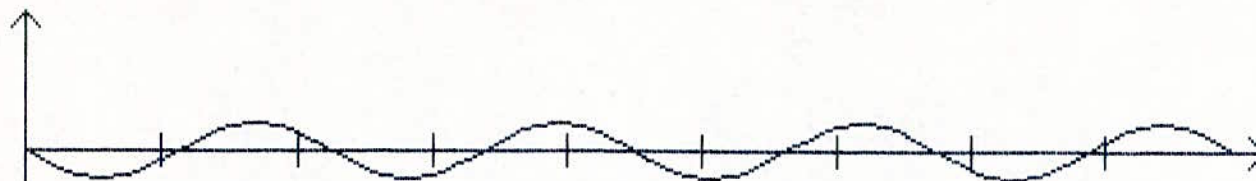
+

+

+

+

harmonique d'ordre :  $3/2$



harmonique d'ordre : 2



harmonique d'ordre : 5/2



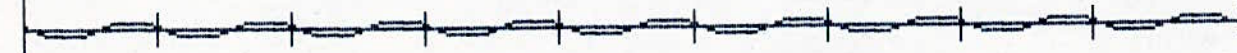
harmonique d'ordre : 3



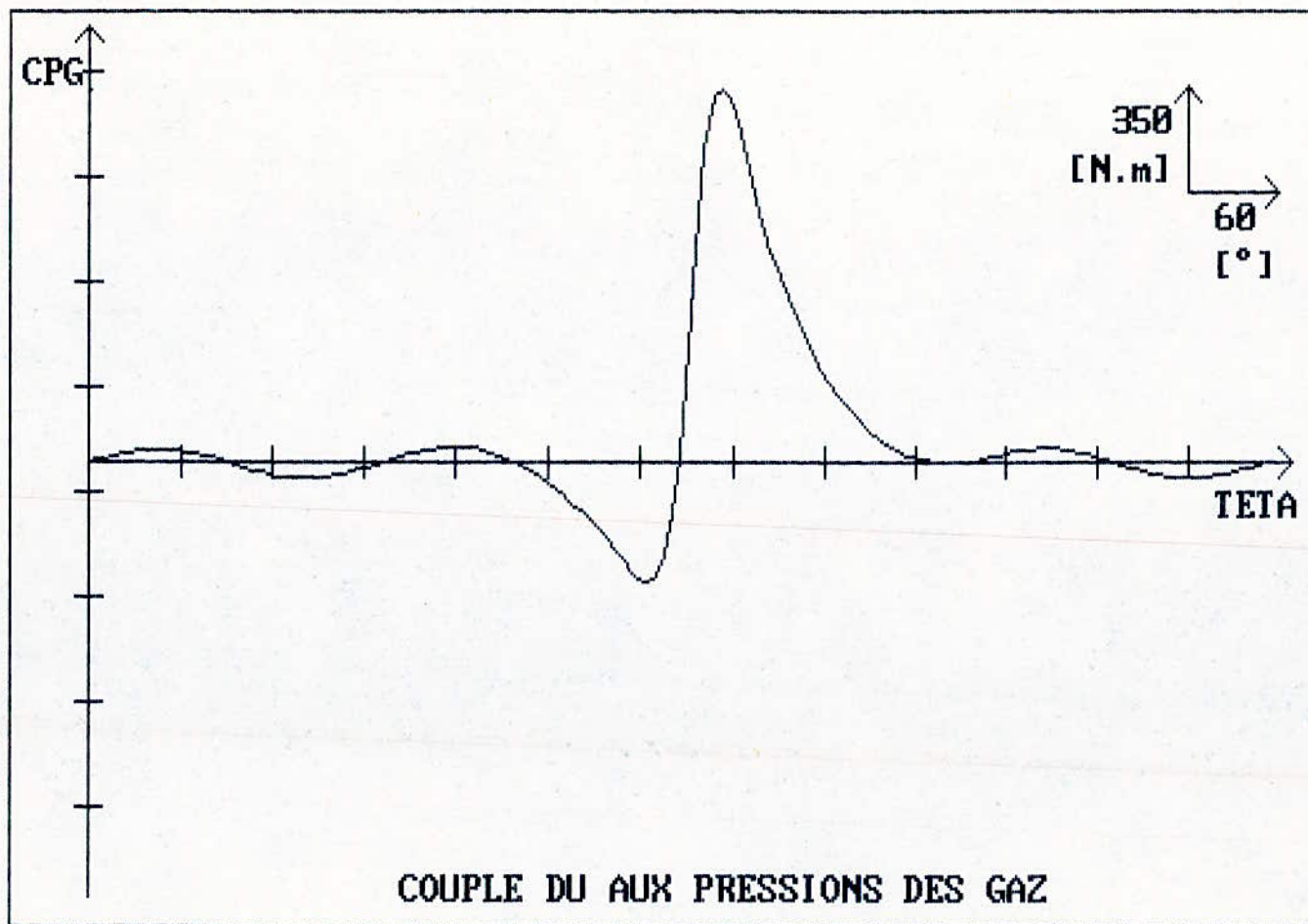
harmonique d'ordre :  $7/2$

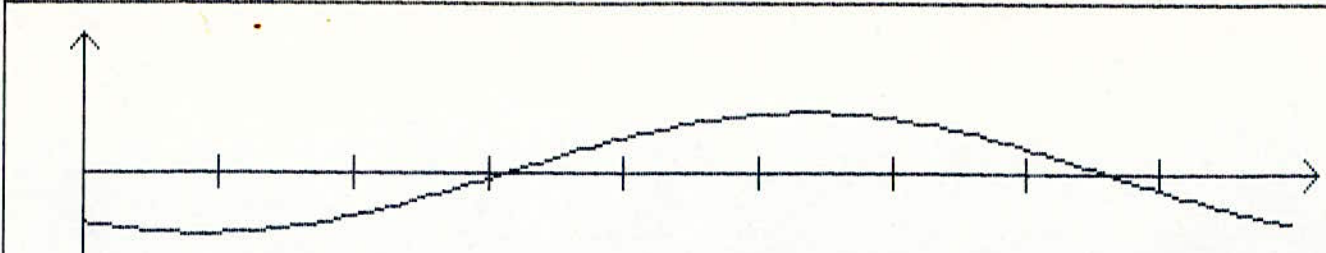


harmonique d'ordre : 4



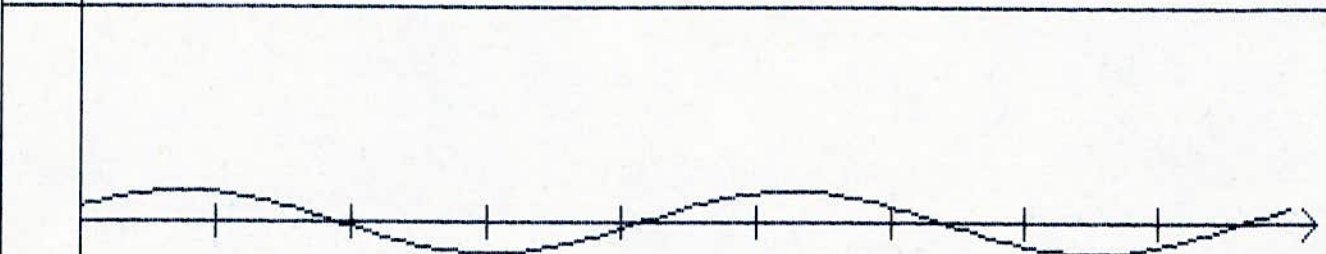
harmonique d'ordre :  $-9/2$





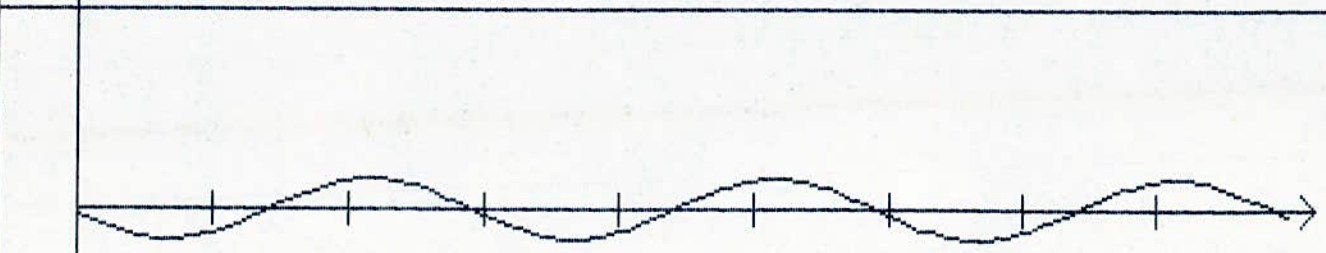
↑

harmonique d'ordre :  $1/2$



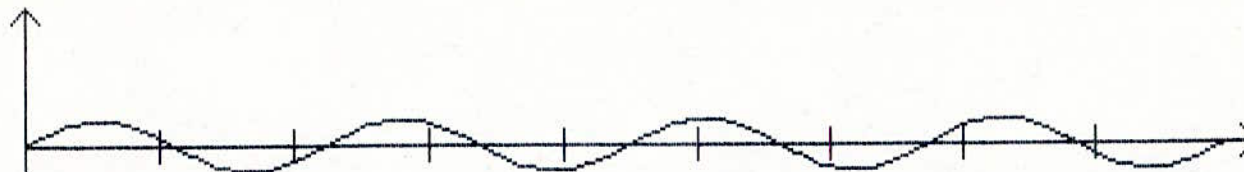
↑

harmonique d'ordre : 1



↑

harmonique d'ordre :  $-3/2$



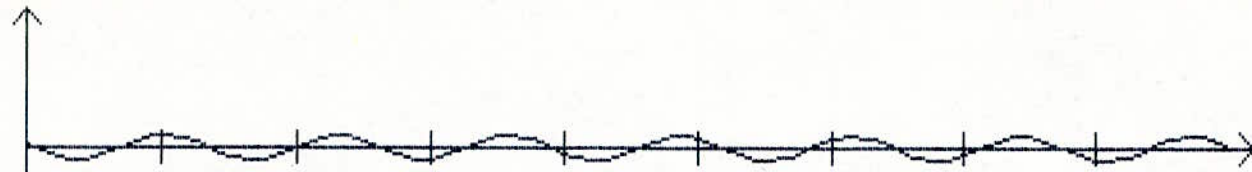
harmonique d'ordre : 2



harmonique d'ordre : 5/2



harmonique d'ordre : 3



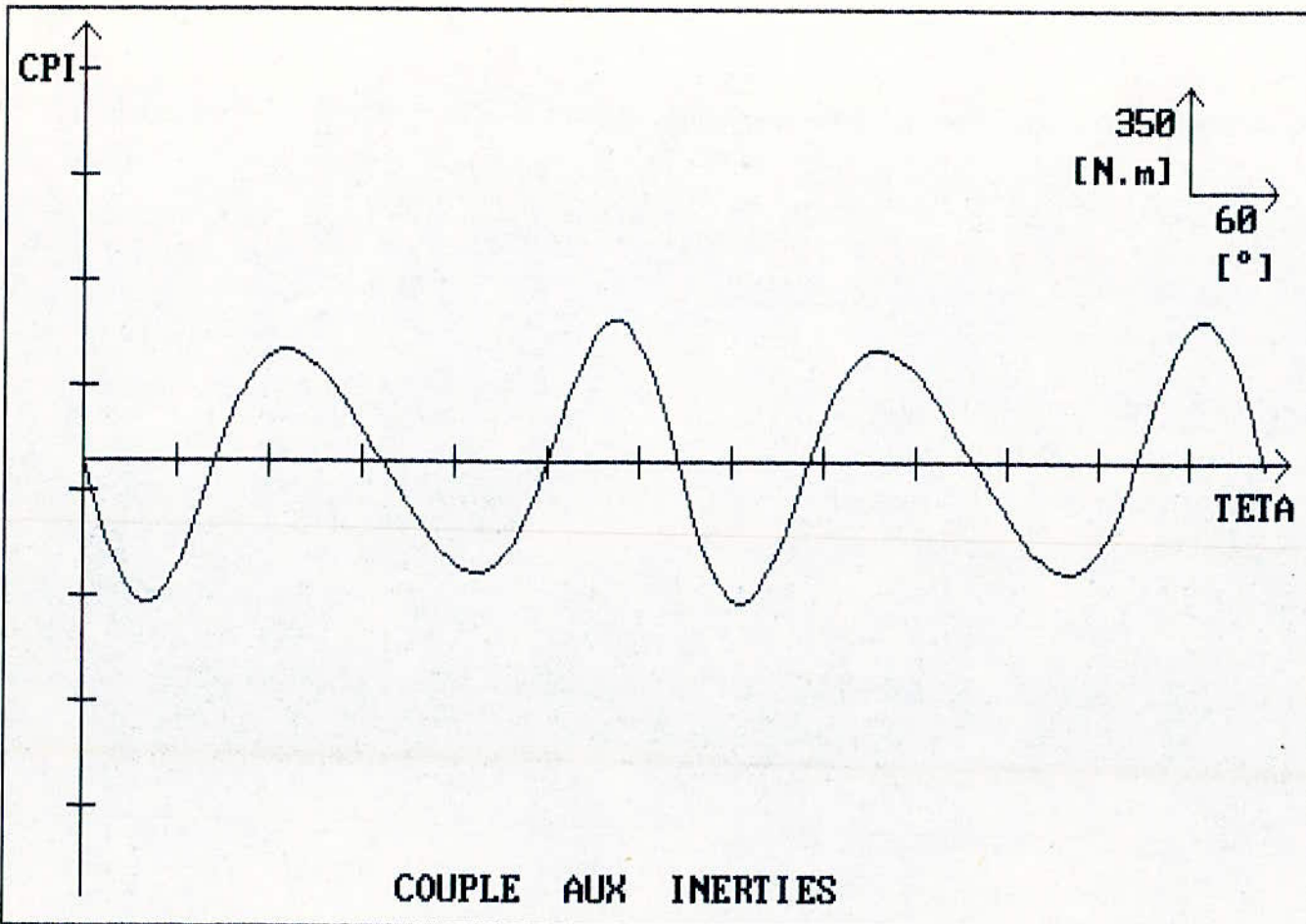
harmonique d'ordre :  $7/2$

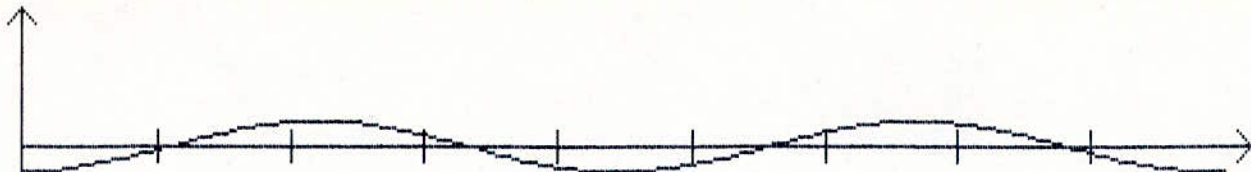


harmonique d'ordre :  $4$



harmonique d'ordre :  $-9/2$





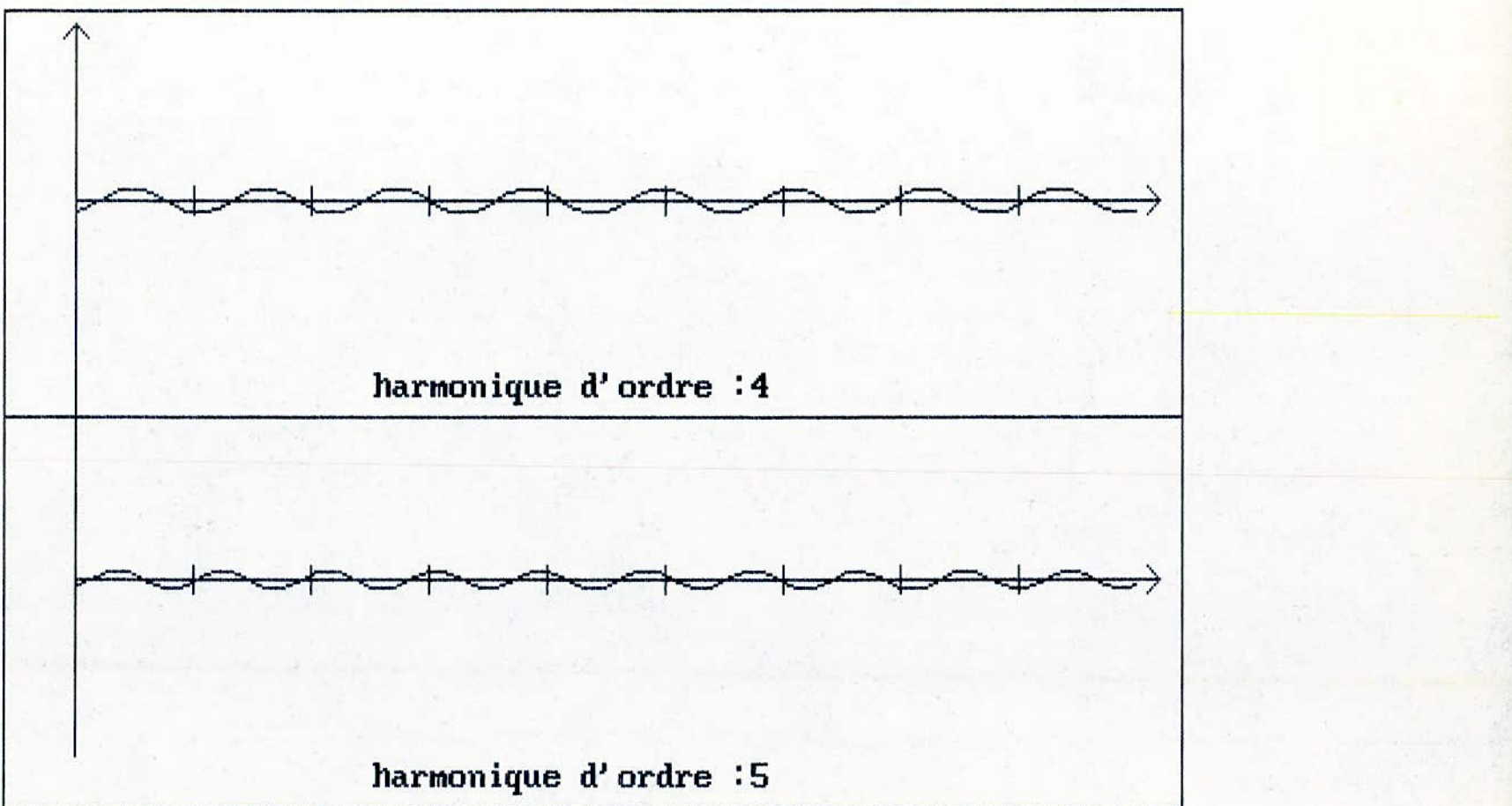
harmonique d'ordre :1



harmonique d'ordre :2



harmonique d'ordre :3



Interpretation des résultats:

Courbes des efforts:

Nous voyons sur ces courbes que pour l'angle de rotation du vilebrequin  $\theta$  compris entre  $360^\circ$  et  $400^\circ$  l'effort est maximal, cela est en accord avec la réalité, car dans cette zone on a la phase combustion : c'est la phase où la pression est maximale la valeur de cette pression varie entre 40 et 80 bars pour les moteurs diesel.

Courbes du couple:

On note les mêmes observations pour le couple total et le couple du gaz que pour les efforts, ces couples atteignent leurs valeurs maximales dans la phase combustion, ce. ci est aussi normal car ces derniers dépendent de la pression.

pour le couple des inerties on observe une évolution sinusoïdale cela est justifié par le fait que le dernier ne dépend pas de la pression et que la force d'inertie présente une allure sinusoïdale en fonction de l'angle  $\theta$ .

Amplitudes des harmoniques du couple

pour les trois couples, couple du gaz, couple du aux inerties On observe la décroissance de l'amplitude des harmoniques

et se termine par valeur presque nulle pour l'harmonique  
d'ordre 9/2 ce qui justifie le choix du nombre d'harmoniques.

# BIBLIOGRAPHIE

1. M.SERRUYS      Moteur a combustion interne  
Etude de la realisation mecanique du moteur  
Edition scientifique RIBER
2. B.SWOBODA      Mecanique des moteurs alternatifs  
Societe des editions technip
3. M.BOUKABACHE Etude des vibrations de torsion de groupe  
moto-propulseur des camion S.N.V.I-SONACOME  
Memoire de magistere 1982
4. M. MENARDON      Les moteurs  
D.JOLIVET      Chotard et associes editeurs
5. H.MEMETAU      Technologie fonctionnel de l'automobile  
DUNOD
6. R.ROUDIL      Les moteurs diesel  
DUNOD
7. MURAY      Analyse de Fourier  
R.SPIEGEL      serie schaum
8. J.LAMOITIER      Le BASIC par la pratique  
SYBEX
9. QUILLET      Encyclopedie des sciences industrielles

